

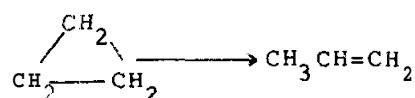
บทที่ 3

ปฏิกิริยาแบบต่าง ๆ

(Types of Reactions)

3.1) ปฏิกิริยานึงโมเลกุล (Unimolecular Reactions)

ในปฏิกิริยานึงโมเลกุลนั้นแยกพิจารณาเป็นสองด้าน โมเลกุลของสารตั้งต้น ตัวเดียว ซึ่งแสดงว่าพลังงานกระตุ้นที่ได้รับมาเกิดจากการชนกันกับโมเลกุลอื่น ๆ ปฏิกิริยานึงโมเลกุล มีด้วยกัน 2 ชนิด ชนิดแรกคือการไอโซเมอร์ไรซ (isomerization) เช่น การไอโซเมอร์ไรซจากไซคลอโพรเพน (cyclopropane) ไปเป็น โพรพิลีน (propylene)



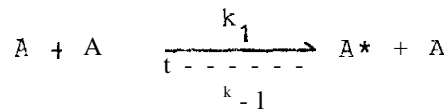
อีกชนิดหนึ่งเป็นการสลายตัว (decompositions) เช่นการสลายตัวของอีเทนไปเป็นเมธิล แรคติกอัล (methyl radicals)



สำหรับปฏิกิริยาการสลายตัว ได้ศึกษาในเวลาต่อมาพบว่า ส่วนใหญ่ไม่ได้เกิดในขั้นตอนเดียว แต่เกิดคลายขั้นตอนโดยกลไกของฟรีรัคติกอัล (free radical) โดยที่ในขั้นแรกจะเป็นการสลายตัวแบบโมเลกุลเดียว และการสลายตัวของอีเทนนี้ก็พบว่าขั้นตอนแรกเป็นการสลายตัวโดยความร้อน

ปัญหาจึงเกิดขึ้นที่ว่าโมเลกุลถูกกระตุ้นได้อย่างไรในปฏิกิริยานึงโมเลกุลนี้ เพราะถ้าคิดว่าถูกกระตุ้นด้วยการชนกัน จะต้องเป็นปฏิกิริยาอันดันที่สอง เนื่องจากจำนวนการชนเป็นสัดส่วนกับความเร็วขั้นยกกำลังสอง จนกระทั่งในปี ก.ศ. 1922 ลิน เดอ曼น์ (Lindemann) สามารถอธิบายได้ว่า การกระตุ้นด้วยการชนกันนี้มีลักษณะอย่างไร จึงเป็นปฏิกิริยาอันดับหนึ่งได้ โดยมีข้อพิจารณาที่แน่นอน ทฤษฎีของเดอマンน์จึงเป็นพื้นฐานของทฤษฎีอุบัติใหม่ของปฏิกิริยานึงโมเลกุล แม้ว่าจะต้องมีการเพิ่มเติมแก้ไขในรายละเอียดในเวลาต่อมา ก็ต้องได้ว่าทฤษฎีของเขานี้เป็นพื้นฐานร่วมต้นที่สำคัญกับเรื่องนี้

3.1.1) ทฤษฎีของลินเดมานน์ (Lindemann's Theory) หากใช้ทฤษฎีของการชนกันแบบสองโมเลกุล คือเขายืนยันว่าโมเลกุลของสารตั้งต้นจะถูกกระตุ้นด้วยการชนกับโมเลกุลอื่น ด้วยสมมติฐานว่าจะมีช่วงเวลา (time lag) ที่โมเลกุลจำนวนหนึ่งมีพลังงานเพียงพอที่จะผ่านไปเป็นผลิตผลได้ โดยไม่ต้องรับพลังงานจากส่วนใดอีก โมเลกุลพากนี้จะเรียกว่า โมเลกุล 'energized' โดยที่โมเลกุล 'energized' นี้จะเปลี่ยนไปเป็นผลิตผล ด้วยอัตราเร็วที่ต่ำมาก เมื่อเทียบกับ อัตราเร็วที่โมเลกุลเหล่านั้นลดลงโดยการชน กับไปเป็นสารตั้งต้น นั่นก็คือ โมเลกุล 'energized' จะอยู่ในสภาวะสมดุลกับ โมเลกุลตั้งต้น อัตราการเกิดปฏิกิริยา จึงขึ้นกับความเข้มข้นของโมเลกุล 'energized' เพียงตัวเดียว ปฏิกิริยานี้จึงเป็นปฏิกิริยาอันดับหนึ่ง แต่ถ้าความดันต่ำ ๆ อัตราการชนกันจะลดลง และอัตราการลดการกระตุ้น (deactivation) กับไปเป็นโมเลกุลธรรมชาติจะลดลงด้วย อัตราการเปลี่ยนโมเลกุล 'energized' ไปเป็นผลิตจะเร็วขึ้นถ้าเทียบกับอัตราการชนในขั้นตอนแรก คือโมเลกุล 2 โมเลกุลชนกัน ดังนั้นอัตราการเกิดปฏิกิริยา จึงขึ้นกับขั้นตอนแรกซึ่งเป็นอัตราการกระตุ้นไปเป็นโมเลกุล 'energized' และเป็นปฏิกิริยาอันดับสอง เราอาจเขียนกลไกการกระตุ้นและลดการกระตุ้นได้เป็น



A เป็นโมเลกุลสารตั้งต้น และ A^* เป็นโมเลกุล 'energized' k_1 เป็นค่าคงที่อัตราการกระตุ้น ส่วน k_{-1} เป็นค่าคงที่อัตราการลดการกระตุ้น ปฏิกิริยาอยู่อีกขั้นหนึ่งคือการถ่ายตัวหรือการไฮโซเอนไซซ์ของโมเลกุล 'energized' คือ



ใช้ steady-state approximation จะได้

$$\frac{d[A^*]}{dt} = k_1 [A]^2 - k_{-1} [A^*] - k_2 [A^*] = 0 \dots (3.1)$$

จากสมการ (3.1) หากความเข้มข้นของโมเลกุล 'energized' ได้

$$[A^*] = \frac{k_1 [A]^2}{k_{-1} [A] + k_2} \dots (3.2)$$

เพาะະณะน້ອຕຽກາກເກີດຜລິຫຼຸດ

$$v = k_2 [A^*] = \frac{k_1 k_2 [A]^2}{k_{-1} [A] + k_2} \dots (3.3)$$

ພິຈາລະນາສມກາ (3.3) ທັງໝົດທີ່ຄວາມດັນສູງເພື່ອພວມມາດີ ອັດຽດການລົດການກະຕຸ້ນ (deactivation) ຈະເຮົາມາກ ເນື່ອເຖິງກັບອັດຽດການປັບປຸງໄປເປັນຜລິຫຼຸດ ນັ້ນຄືອ

$$k_{-1} [A] \gg k_2$$

ເພະະນ້ອຕຽກາກ (3.3) ຈະກຳລາຍເປັນ

$$v = \frac{k_1 k_2 [A]}{k_{-1}} = k_\infty [A] \dots (3.4)$$

ເພະະນ້ອຕຽກາກຈະເຫັນວ່າປົກກິໂຮຍາເປັນອັນດັບໜຶ່ງ ໂດຍທີ່ k_2 ເປັນຄ່າຄົງທີ່ອັດຽດທີ່ຄວາມດັນສູງ ມີຄ່າເຫຼັກກັບ $k_1 k_2 / k_{-1}$ ໃນການທີ່ຄວາມດັນຕໍ່າ ອັດຽດການລົດການກະຕຸ້ນຈະຕໍ່າກວ່າອັດຽດການເກີດຜລິຫຼຸດ

ຈື້ອ $k_{-1} [A] \ll k_2$ ອັດຽດການເກີດປົກກິໂຮຍາຈາກສມກາ (3.3) ຈະກຳລາຍເປັນ

$$v = k_1 [A]^2 \dots (3.5)$$

ການນີ້ຈະເຫັນວ່າເປັນປົກກິໂຮຍາອັນດັບສອງ

ການປັບປຸງແປ່ງຈາກອັນດັບໜຶ່ງໄປເປັນອັນດັບສອງ ຕາມຄວາມດັນທີ່ສົດສົງນີ້ ກຸ່ງກົງຂອງລິນ ເດອມານົວອົບໃບຍ້ໄດ້ຜລິດພອສມຄວາມເນື່ອເຖິງກັບຜລກາກທດລອງ ໃນແງ່ຄຸນກາພ (qualitative) ແຕ່ໃນແງ່ຂອງປົມານ (quantitative) ຍັງໄມ້ສົມບູຮັນເພີ່ມພອດຕ້ອງແກ້ໄຂບ້າງ ຜົ່ງພິຈາລະນາໄດ້ດັ່ງຕ່ອໄປນີ້

ຄ້າໃຫ້ k' ເປັນສັນປະສົງຂີ້ອງອັດຽດ (rate coefficient) ທີ່ປັບປຸງໄປຕາມຄວາມດັນ ເພະະນ້ອຕຽກາກເກີດປົກກິໂຮຍາ

$$v = k' [A] \dots (3.6)$$

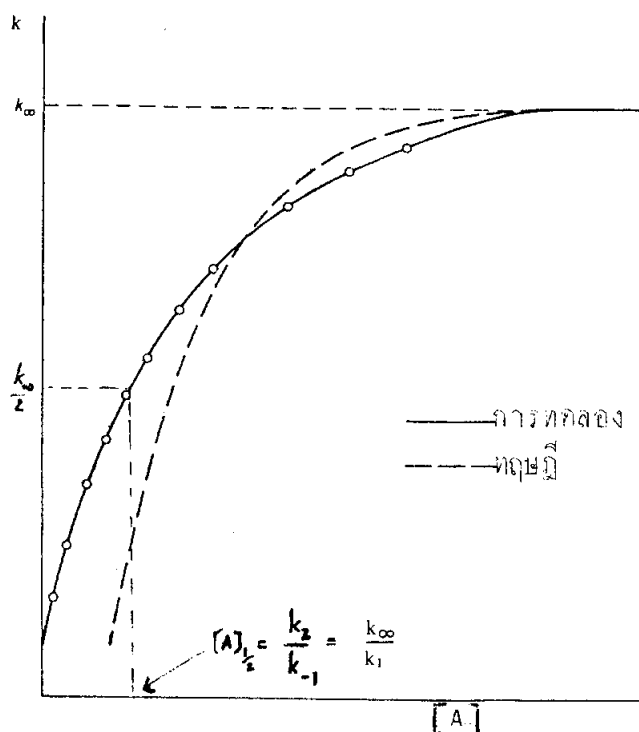
จากสมการ (3.3) เทียบกับสมการ (3.6) จะได้

$$k' = \frac{k_1 k_2 [A]}{k_{-1} [A] + k_2}$$

เอา $k_{-1} [A]$ หารบนและล่างจะได้

$$k' = \frac{k_\infty}{1 + \frac{k_2}{k_{-1}} \cdot [A]} \quad \dots \dots (3.7)$$

เขียนกราฟระหว่าง k' กับ $[A]$ จะได้กราฟตามรูป 3.1 k' จะมีค่าคงที่ที่ความดันสูง และจะเป็นศูนย์ที่ความดันต่ำ



รูปที่ 3.1 กราฟระหว่าง k' กับ $[A]$ ของปฏิกิริยานึงโมเลกุล

ในสมการ (3.7) จะได้

$$k' = \frac{k_\infty}{2}$$

$$k_{-1} [A]_z = k_2$$

ถ้าเอา k_1 คูณและหารด้วย k_{-1} ทั้งสองข้าง จะได้

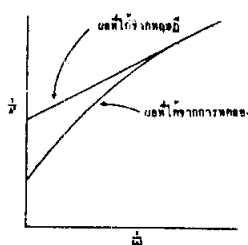
$$k_1 [A]_z = \frac{k_1 k_2}{k_{-1}} = k_\infty$$

$$[A]_z = \frac{k_\infty}{k_1}$$

จะเห็นได้ว่า $[A]_z$ จากการทดลองกับทฤษฎีของลินเดอมาನ์นี้แตกต่างกัน เรามาพิจารณาค่า k_∞ นั้นเป็นค่าคงที่อัตราอันดับหนึ่งที่ความดันสูง และได้จากการทดลอง จึงไม่มีปัญหา ค่า $[A]_z$ ที่แตกต่างกันระหว่างผลการทดลองกับทฤษฎีของลินเดอมาನ์ จึงผ่าจะมาจาก k_1 ซึ่งถ้าหากนำสมการ (3.7) มาเขียนใหม่เป็น

$$\frac{1}{k'} = \frac{k_{-1}}{k_1 k_2} + \frac{1}{k_1 [A]} \quad \dots (3.8)$$

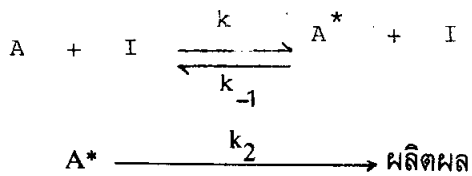
นำไปเขียนกราฟระหว่าง $\frac{1}{k'}$ กับ $\frac{1}{[A]}$ จะให้กราฟเส้นตรง แต่ผลการทดลองจะเปียงเบนออกจากเส้นตรงช่วงความดันสูง ตามรูป 3.2 ซึ่งการเปียงเบนนี้เกิดเนื่องจากว่า จุดตัดแกนตั้งคือ $\frac{k_{-1}}{k_1 k_2}$ แสดงว่าผลจากทฤษฎีได้ค่าสูงเกินไป การแก้ไขก็แก้ไขโดยแก้ค่า k_2 ให้สูงขึ้นซึ่งจะ



อธิบายโดยทฤษฎีของคาสเซล (Kassel) ไรซ์ (Rice) และแรมสเปอร์เจอร์ (Ramsperger) ในหัวข้อต่อไป

รูปที่ 3.2 กราฟระหว่าง $\frac{1}{k'}$ กับ $\frac{1}{[A]}$

มีการณ์ที่ทดลองแล้วได้กราฟเส้นตรงตามกฎภูมิของลินเดอมาನ์ คือให้ความดันของสารตั้งต้นคงที่ แต่เปลี่ยนความดันรวมโดยการใส่กากซ์เฉื่อย เช่น กากซ์ในโทรเจน หรือ กากซ์อาร์กอน เป็นต้น ถ้าใช้สัญญาณ์ I กลไก จะเขียนได้เป็น



ใช้ steady-state approximation จะได้

$$v = \frac{k_1 k_2 [A][I]}{k_{-1}[I] + k_2}$$

ที่ความดันสูง $k_{-1}[I] \gg k_2$ เพราะฉะนั้น

$$v = \frac{k_1 k_2 [A]}{k_{-1}} = k_\infty [A]$$

ตรงกับสมการ (3.4)

ที่ความดันต่ำ $k_{-1}[I] \ll k_2$ เพราะฉะนั้น

$$v = k_1 [A][I]$$

ปฏิกิริยาจะมีอันดับเป็นหนึ่งเมื่อเทียบกับ (A) หรือ (I)
ถ้าเขียนอัตราการเกิดปฏิกิริยาเป็น

$$v = k' [A]$$

k' เป็นสัมประสิทธิ์ของอัตราที่มีค่าคงที่ เท่ากับ k_∞ (หรือ $\frac{k_1 k_2}{k_{-1}}$) ที่ความดันสูง และมีค่าเท่ากับ $k_1[I]$ มีความดันต่ำ ถ้าเขียนในรูปทั่วไปจะได้เป็น

$$k' = \frac{k_1 k_2 [I]}{k_{-1}[I] + k_2}$$

หรือเขียนเป็น $\frac{1}{k'} = \frac{k_{-1}}{k_1 k_2} + \frac{1}{k_1 [I]}$

เขียนกราฟระหว่าง $\frac{1}{k'} = \frac{1}{k_1 [I]}$ จะได้กราฟเส้นตรงแสดงให้เห็นว่ากาซเดี่ยวก็ต้องไปสามารถกระทำให้โมเลกุลสั่นดังนี้ถูกกระตุ้นและลดการกระตุ้นได้เช่นกัน การทดลองนี้เป็นการแสดงให้เห็นกลไกของปฏิกิริยาหนึ่งโมเลกุล ของทฤษฎีของลินเดมานน์

3.1.2) ทฤษฎีของฮินเชลวูด (Hinshelwood's theory)

พิจารณาข้อ 3.1 จะเห็นได้ว่าค่า $[A]_{\frac{1}{2}}$ ที่ได้จากการทดลองมีค่ามากกว่าที่ได้จากการทดลอง ซึ่งหมายความว่า ค่า k_1 จากทฤษฎีของลินเดมานน์มีค่าน้อยกว่าที่ควรจะเป็นที่ความดันต่ำๆ เพราะว่า $[A]_{\frac{1}{2}} = k / k_1$ ฮินเชลวูดเป็นผู้อธิบายข้อผิดพลาดนี้ได้ โดยเขาตั้งสมมติฐานว่า ค่าคงที่อัตราในขบวนการที่โมเลกุลเปลี่ยนไปเป็นโมเลกุล 'energized' คือ k_1 นั้นน่าจะมีค่ามากกว่าขบวนการลดการกระตุ้นกลับไปเป็นโมเลกุลธรรมด้า (k_{-1}) เนื่องจากอัตราการกระตุ้นขึ้นกับจำนวน degree of freedom ของ vibration ในโมเลกุล โมเลกุลใดมีจำนวน degree of freedom ของ vibration มาก ก็มีโอกาสรับพลังงานสำหรับการกระตุ้นได้มาก เนื่องจากพลังงานสามารถจะกระจายไปตาม degree of freedom เหล่านี้

กรณีที่โมเลกุลมี S degree of freedom ของ vibration จะได้ค่าคงที่อัตราเป็น

$$k_1 = \frac{Z_1}{(S-1)!} \left(\frac{E^*}{RT} \right)^{S-1} e^{-E^*/RT} \quad \dots \dots (3.9)$$

Z_1 เป็นจำนวนการชนกันของสองโมเลกุล และ E^* เป็นพลังงานที่ต้องการในการกระตุ้น เปรียบเทียบสมการ (3.9) กับสมการที่ได้จากการชั่น

$$k_1 = Z_1 e^{-E^*/RT} \quad \dots \dots (3.10)$$

สมการ (3.9) จะให้ค่า k_1 มากกว่า ในสมการ (3.10) พิจารณาด้วย

ตัวอย่าง 3.1 จงคำนวณแฟคเตอร์แห่งความถี่ สำหรับปฏิกิริยาซึ่งมีพลังงานกระตัน $200 \text{ kJ} \cdot \text{mol}^{-1}$ และ $S = 6$ ที่ 300 K สมมติว่าความถี่ของการชนเท่ากับ $10^{12} \text{ dm}^3 \cdot \text{mol}^{-1} \cdot \text{s}^{-1}$

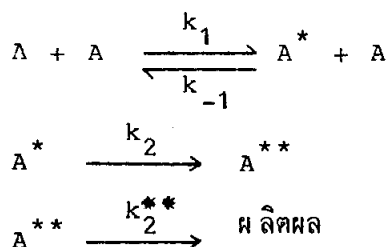
วิธีทำ แฟคเตอร์แห่งความถี่ ในสมการ (3.9) ของอินเซลวูด ก็คือ preexponential term

$$\frac{Z_1}{(S-1)!} \left(\frac{E^*}{RT} \right)^{S-1} = \frac{10^{12}}{5!} \left(\frac{200 \times 10^3}{8.31 \times 300} \right)^5 \text{ dm.}^3 \text{ mol}^{-1} \cdot \text{s}^{-1}$$

$$= 2.8 \times 10^{19} \text{ dm}^3 \cdot \text{mol}^{-1} \cdot \text{s}^{-1}$$

ถ้าคำนวณค่า preexponential term ในสมการ (3.10) คือ Z_1 จะได้ $10^{12} \text{ dm}^3 \cdot \text{mol}^{-1} \text{ s}^{-1}$ จะเห็นว่าต่างกันอยู่ประมาณ 10^7 ซึ่งชี้ให้เห็นว่าอัตราการกระตันจะสูงขึ้นตามสมมติฐานของอินเซลวูด และเป็นการแก้ไขทฤษฎีของลินเดอมาన์ ในช่วงความดันต่ำ ในทางปฏิบัติแล้วการหาค่า S ในทฤษฎีของอินเซลวูด จะใช้วิธี trial and error และเป็นไปได้เสมอที่จะได้ค่า S ออกมากกว่ากัน หรือน้อยกว่า จำนวน normal modes ทั้งหมดในโมเลกุล แต่ค่าที่ดีที่สุดคือ เมื่อ S เท่ากับครึ่งหนึ่งของจำนวน modes ทั้งหมด จะได้ผลใกล้เคียงกับการทดลอง จุดอ่อนของทฤษฎีอินเซลวูดอยู่ที่วิธีการหาค่า S ซึ่งทำให้ได้ค่า k_1 สูงเกินไป และ k_2 ต่ำกว่าปกติ

ทฤษฎีของอินเซลวูด และทฤษฎีใหม่ ๆ ต่อมาก็พยายามปรับปรุงทฤษฎีของลินเดอมาnan's สำหรับปฏิกิริยาหนึ่งโมเลกุล ให้ดีที่สุด โดยใช้พื้นฐานของลินเดอมาnan เป็นสำคัญ เชียนกลไก ได้คือ

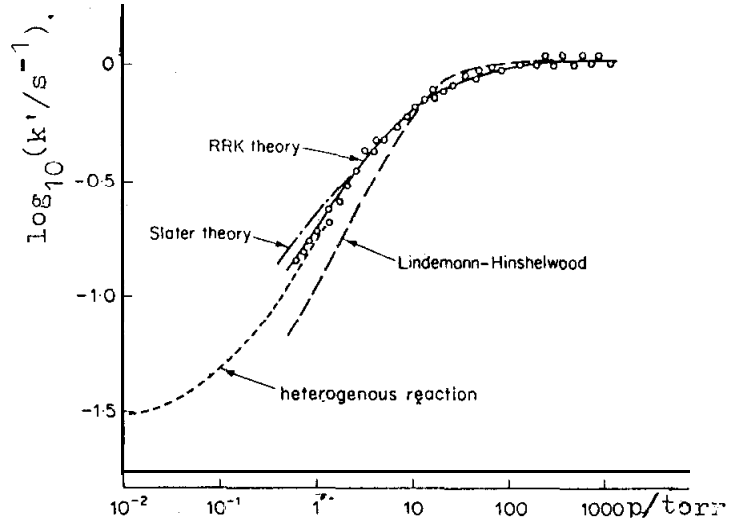


A^{**} เป็นแอคติเวเตดคอมเพล็กซ์ ที่สามารถผ่านไปเป็นผลิตผลได้ ส่วน A^* เป็นโมเลกุล 'energized' ซึ่งมีพลังงานเพียงพอที่จะกลย�回ไปเป็นแอคติเวเตดคอมเพล็กซ์ ได้โดยไม่ต้องรับพลังงานจากท่อин แต่จะต้องมีการเปลี่ยนแปลง vibration ก่อนจะเปลี่ยนไปเป็นแอคติเวเตดคอมเพล็กซ์ ได้ ซึ่งอาจจะมีการเคลื่อนย้ายพลังงานไปในพันธะต่าง ๆ ตามทฤษฎีของอินเซลวูด โมเลกุลจะถูกกระตันไปเป็นโมเลกุล 'energized' ได้มากกว่าในทฤษฎีการชน และช่วงเวลานานกว่าก่อนที่เปลี่ยนไปเป็นแอคติเวเตดคอมเพล็กซ์

3.1.3) ทฤษฎีของ RRK และสเลเตอร์ (RRK and Slater Theory)

ศาสตรา (Kassel) ไรซ์ (Rice) และแรมสเปอร์เจอร์ (Ramsperger) ได้พยาบยามปรับปรุงทฤษฎี ใหม่เพื่ออธิบายการเบี่ยงเบนของทฤษฎีลินเดอมาನ์ กับผลการทดลองโดยเขามุ่งแก้ไข k_2 เป็นสำคัญ เราเรียกทฤษฎีของทั้งสามคนว่า ๆ ว่า ทฤษฎี RRK ทฤษฎีนี้ตั้งสมมติฐานว่า ค่าคงที่ อัตรา k_2 ของการถลายน้ำของโมเลกุลที่ถูกกระตุ้น (k_2^*) จะขึ้นอยู่กับพลังงานที่มีในโมเลกุล ซึ่งมี degree of freedom ต่าง ๆ กัน ถ้าที่ความดันสูง จำนวนโมเลกุลที่ถูกกระตุ้นจะมีมาก เพราะว่ามี การชนกันมาก อัตราเร็วที่คำนวนได้ จะมีค่าสูงกว่า การคำนวนจากทฤษฎีการชนธรรมชาติ โดยที่ใน vibrational mode จะมีการแลกเปลี่ยนพลังงานกัน จนกระทั่งมี mode ใด mode หนึ่งมีพลังงานสูงพอจะเกิดปฏิกิริยาได้ เรียกว่า critical mode เพราะฉะนั้น ถ้ามีจำนวนโมเลกุลที่ถูกกระตุ้นมาก โอกาสที่จะเกิด critical mode ก็มีมาก ค่า k_2 จะสูงขึ้น

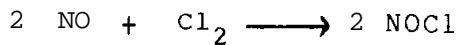
ส่วนทฤษฎีของสเลเตอร์นั้นต่างกับของอินเชลวูด และ RRK ตรงที่จะไม่มีการให้ ไปนานของพลังงานระหว่าง mode เลย แต่ปฏิกิริยาจะเกิดขึ้นได้ เมื่อมี 'critical coordinate' เกิดในโมเลกุล คือ ความยาวพันธะ หรือผลรวมของความยาวพันธะขยายออกจนถึงจุดวิกฤต (critical) ซึ่งการ ขยายดังกล่าวจะเกิดเมื่อจำนวน mode ต่าง ๆ ของ การ vibrate เข้ามาอยู่ในวั�ภาก (phase) เดียวกัน ข้อดีของสเลเตอร์ก็คือเข้าใจได้ง่ายกว่า RRK แต่ผลไม่แตกต่างกันมากนัก รายละเอียดของ ทฤษฎีทั้งสองจะยังไม่กล่าวถึงในหนังสือเล่มนี้ เพียงแต่แสดงค่าเปรียบเทียบกันให้ดูระหว่างทฤษฎี ต่าง ๆ ดังรูปที่ 3.3



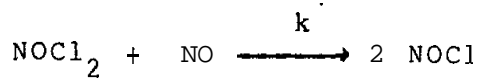
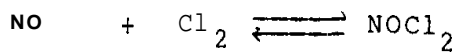
รูปที่ 3.3 แสดงการเปรียบเทียบค่าที่ได้จากทฤษฎีต่าง ๆ กับการทดลองในปฏิกิริยาการ ไอโซเมอไรซ์ของไฮคลอโรเพน ที่ 500°C

3.2) ปฏิกิริยาสารโนเมเลกุล (Termolecular Reactions)

ปฏิกิริยาชนิดนี้จะมีสารตั้งต้น 3 โมเลกุล เข้าทำปฏิกิริยากัน ตัวอย่างเช่น



กรณีอย่างนี้ไม่สามารถอธิบายได้ด้วยการชนพบร้อน ๆ กัน 3 โมเลกุลได้ ทราทซ์ (Trautz) เป็นผู้อธิบายว่า ปฏิกิริยาอันดับสาม ในสถานะกากนี้ใช้หลักของปฏิกิริยาสองโมเลกุลได้ เพราะจะนับปฏิกิริยาระหว่าง NO กับ Cl₂ เข้าตั้งสมมติฐานได้เป็นสองขั้นตอน คือ



ขั้นตอนแรกมีสภาวะสมดุล จะได้ค่าคงที่ของสมดุลเป็น

$$K = \frac{[\text{NOCl}_2]^3}{[\text{NO}][\text{Cl}_2]}$$

$$\text{และ } [\text{NOCl}_2] = K[\text{NO}][\text{Cl}_2]$$

อัตราการเกิดผลิตผลในขั้นตอนที่สอง คือ

$$\frac{d[\text{NOCl}]}{dt} = k' [\text{NO}][\text{NOCl}_2]$$

แทนค่า [NOCl₂] และจะได้

$$\frac{d[\text{NOCl}]}{dt} = k' K [\text{NO}]^2 [\text{Cl}_2]$$

ซึ่งเป็นสมการอัตราคิดเพื่อเรียบง่าย ของปฏิกิริยาอันดับสาม $k_3 = k' K$ โดยวิธีการเช่นนี้ เราอาจนำไปใช้อธิบายปฏิกิริยาอันดับสามในสภาวะกากอื่น ๆ ได้

3.3 ปฏิกิริยาซับซ้อน (Complex Reactions)

ปฏิกิริยาเคมีหลาย ๆ ชนิดที่พบว่า ไม่ได้เกิดเพียงขั้นตอนเดียว แต่เกิดหลายขั้นตอนด้วยกันก่อนจะไปเป็นผลิตผล ปฏิกิริยาเหล่านี้มักจะมีจำนวนโมลไม่สัมพันธ์กับอันดับของปฏิกิริยา เช่น



ปฏิกิริยานี้พิจารณาจากจำนวนโมลน่าจะมีอันดับ 4 แต่ผลการทดลองปรากฏว่าเป็นปฏิกิริยา อันดับสาม

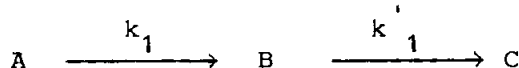
เขียนเป็นสมการอัตราดิฟเพอเรนเซียลได้ดัง

$$\frac{d[\text{N}_2]}{dt} = k_1 [\text{NO}]^2 [\text{H}_2]$$

ปฏิกิริยาที่มีลักษณะเช่นนี้ เป็นตัวอย่างหนึ่งของปฏิกิริยาซับซ้อน (Complex reactions) ซึ่งมีด้วยกันหลายชนิด คือ

3.3.1) ปฏิกิริยาต่อเนื่อง (Consecutive reactions)

เป็นปฏิกิริยาที่เมื่อเกิดผลิตผลแล้ว ปฏิกิริยานามารถดำเนินต่อไปได้อีก โดยผลิตผลนั้น เป็นสารตั้งต้นของปฏิกิริยาต่อไป เช่น



เขียนสมการอัตราดิฟเพอเรนเซียลได้เป็น

$$-\frac{d[\text{A}]}{dt} = k_1 [\text{A}] \quad \dots \dots (3.11)$$

$$\frac{d[\text{B}]}{dt} = k_1 [\text{A}] - k_2 [\text{B}] \quad \dots \dots (3.12)$$

$$\frac{d[\text{C}]}{dt} = k_2 [\text{B}] \quad \dots \dots (3.13)$$

อินติเกรตสมการ (3.11) จะได้

$$\ln[A] = -k_1 t + \text{ค่าคงที่}$$

เมื่อ $t = 0, [A] = [A]_0$ คือความเข้มข้นเริ่มต้น, ค่าคงที่ $= \ln[A]_0$

$$\ln[A] = -k_1 t + \ln[A]_0$$

เพราะจะนั้น

$$[A] = [A]_0 e^{-k_1 t} \dots (3.14)$$

แทนค่า $[A]$ ในสมการ (3.12) แล้วอินติเกรต จะได้

$$[B] = \frac{[A]_0 k_1}{k_1' - k_1} (e^{-k_1 t} - e^{-k_1' t}) \dots (3.15)$$

พิจารณาปุ๊ป 3.4 ความเข้มข้นของสารทั้ง 3 ตัว จะเปลี่ยนแปลงไปที่เวลาต่างๆ

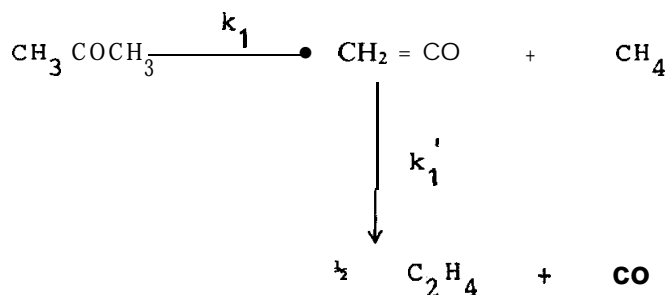
พิจารณาที่เวลา $t = 0, [A] = [A]_0$

เมื่อเวลา $t = t$; $[A] + [B] + [C] = [A]_0$ ทุกๆ จุดที่เวลาใดๆ

เมื่อเวลาสุดท้าย $t = t_\infty$ ความเข้มข้น $[C] = [A]_0$ เนื่องจาก $[B]$ หมดไป
เราสามารถหา $[C]$ ที่เวลาใดๆ ได้ คือ

$$[C] = \frac{[A]_0}{k_1' - k_1} (1 - e^{-k_1 t}) - k_1 (1 - e^{-k_1' t}) \dots (3.16)$$

ตัวอย่างของปฏิกิริยาแบบนี้ เช่น การถลายตัวของอาซีโนนด้วยความร้อน

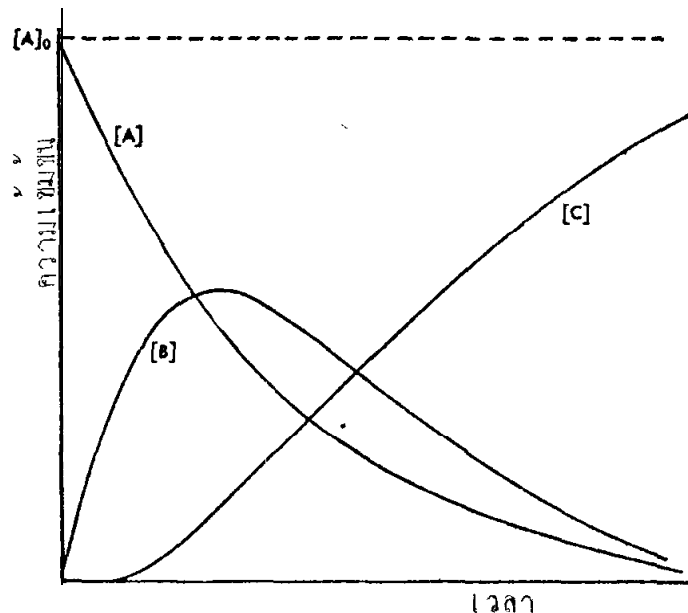


เวลาเราพบปฏิกิริยาแบบนี้ อาจจะใช้หลักของขั้นกำหนดอัตรา คือถ้าว่าขั้นที่มีอัตราเร็วที่สุด เป็นขั้นกำหนดอัตรา

เพราจะนั้น ถ้า $k_1 \ll k_2$

k_1 จึงเป็นตัวกำหนดอัตรา นำไปใช้กับสมการ (3.16)

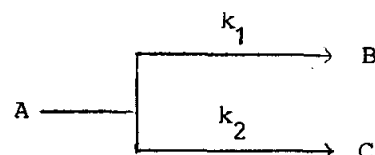
$$\text{จะได้ } [C] = [A]_0 (1 - e^{-k_1 t})$$



รูปที่ 3.4 การเปลี่ยนแปลงความเข้มข้นของ A, B และ C ที่เวลาต่าง ๆ

3.3.2 ปฏิกิริยาขนาน (Parallel reactions)

ปฏิกิริยาแบบนี้พบมากในอินทรีย์เคมี เขียนรูปที่ ๔ ไปได้เป็น



ถ้าให้ a เป็นความเข้มข้นเริ่มต้นของ A ที่เวลา $t = 0$, b และ c เป็นความเข้มข้นของ B และ C ที่เวลา t ตามลำดับ เพราจะนั้นที่เวลา t และความเข้มข้นของ A จะเหลือ $a-b-c$ เขียนสมการอัตราดิฟเฟอเรนเชียลได้เป็น

$$\frac{db}{dt} = k_1 (a - b - c) \quad \dots \dots \quad (3.17)$$

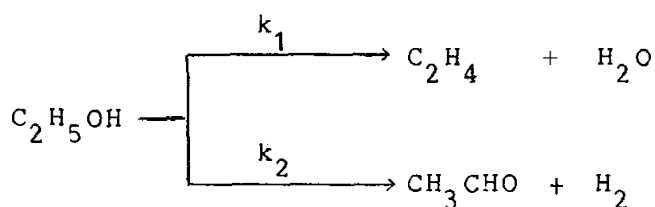
$$\text{และ} \quad \frac{dc}{dt} = k_2 (a - b - c) \quad \dots \dots \quad (3.18)$$

อินดิเกรตแล้วจะได้

$$b = \frac{k_1 a}{k_1 + k_2} [1 - e^{-(k_1 + k_2)t}] \quad \dots \dots \quad (3.19)$$

$$c = \frac{k_2 a}{k_1 + k_2} [1 - e^{-(k_1 + k_2)t}] \quad \dots \dots \quad (3.20)$$

ตัวอย่างของปฏิกิริยาแบบนี้ เช่น การถลายตัวของเอทานอล



กรณีของปฏิกิริยาแบบข้างนี้ จะได้ผลิตผลอันใหญ่เป็นผลิตผลหลัก (main products) ขึ้นอยู่กับค่า k_1 และ k_2 ว่าตัวไหนจะมากกว่ากัน ถ้า k_1 มากกว่า k_2 จะได้ C_2H_4 มากกว่า CH_3CHO เพราะฉะนั้นความสามารถควบคุมปฏิกิริยาให้เป็นไปตามที่ต้องการได้ โดยการเติมcacitate ไลส์ตหรือควบคุมอุณหภูมิเพื่อว่า k_1 อาจจะสูงที่อุณหภูมิหนึ่ง พ่ออุณหภูมิเปลี่ยนไป k_2 อาจจะสูงขึ้น เช่นนี้เป็นต้น

3.3.3 ปฏิกิริยาลูกโซ่ (Chain reactions)

ปฏิกิริยาลูกโซ่ เป็นปฏิกิริยาที่ขั้นตอนอีกประเทาหนึ่งในปฏิกิริยาเคมี ซึ่งจะมีการเกิดอะตอมอิสระ (free atoms) และ แรดิคิโอล (radicals) เป็นอินทร์มิเตย์ต ปฏิกิริยาประเทาที่มีลักษณะพิเศษที่แตกต่างจากที่กล่าวมาแล้วข้างต้น โดยที่การเกิดปฏิกิริยาจะประกอบด้วยกระบวนการบัญชี (elementary processes) ดังนี้

ก) Chain initiation เป็นขั้นตอนที่สารตั้งต้นแตกออกได้ฟรีและดิคิโอลซึ่งจะทำตัวเป็น chain carrier

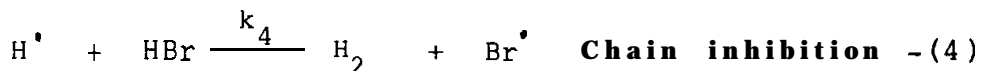
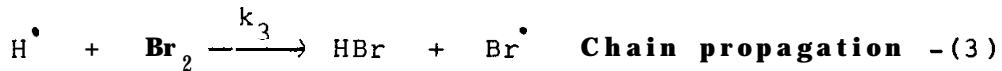
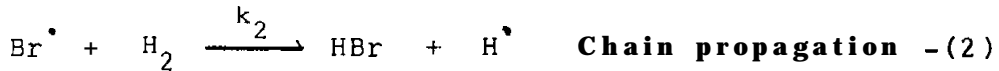
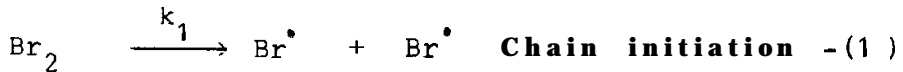
ข) chain propagation เกิดเมื่อฟรีเอดดิติกอลเข้าทำปฏิกิริยากับสารตั้งต้น แล้วให้ผลิตผลและสารที่ว่องไว (reactive species) ซึ่งอาจเป็นฟรีเอดดิติกอลอีก และเป็น chain carrier ทำให้เกิดปฏิกิริยาไปเรื่อยๆ

ค) Chain termination เป็นขั้นตอนที่ฟรีเอดดิติกอลถูกทำลายไปจากระบบ โดยอาจเกิดการรวมกัน (combination) หรือแยกส่วน (disproportionation) ปฏิกิริยาจึงสิ้นสุด

ตัวอย่างของปฏิกิริยาลูกโซ่ที่รู้จักกันดีที่สุด คือปฏิกิริยาระหว่าง H_2 กับ Br_2 ซึ่งได้สมการอัตราดิฟเพอเรนเซียล จากผลการทดลองเป็น

$$\frac{d[HBr]}{dt} = \frac{k_a [H_2] [Br_2]^{\frac{1}{2}}}{k_b + [HBr]/[Br_2]} \dots \dots (3.21)$$

โดยที่ k_a และ k_b เป็นค่าคงที่ที่อุณหภูมิหนึ่ง สมการ (3.21) เป็นผลการทดลองของโบเดนสไตน์ (Bodenstein) และลินด์ (Lind) แต่ไม่มีโครงธินายได้ว่าทำไม่ใช่เป็นชั้นนี้ จนกระทั่งปี 1919 คริสเตียนเซน (Christiansen) เฮอร์เซลฟ์ (Herzfeld) และโพลานyi (Polanyi) ได้อธินายกลไกของปฏิกิริยาได้โดยมีขั้นตอนดังนี้



ขั้นตอนที่ 4 chain inhibition นั้นเป็นการทำลายผลิตผล ซึ่งในปฏิกิริยาลูกโซ่ชนิดอื่นๆ อาจจะมีหรือไม่มีก็ได้ ดังนั้นการพิจารณาว่าปฏิกิริยาได้เป็นปฏิกิริยาลูกโซ่หรือไม่ จึงพิจารณาเพียงว่ามี 3 ขั้นตอนที่กล่าวตอนต้นหรือไม่ และขั้นตอนที่สำคัญที่จะต้องมีแน่ๆ คือ chain propagation จึงจะถือว่าเป็นปฏิกิริยาลูกโซ่

ตัวที่ทำหน้าที่เป็น chain carrier คืออะตอม H และอะตอม Br และอัตราการเกิดปฏิกิริยาจะพิจารณาเฉพาะขั้นตอน chain propagation คืออัตราการเกิดผลิตผล เพราะฉะนั้นสมการอัตราดิฟเพอเรนเซียลจึงได้ คือ

$$\frac{d[HBr]}{dt} = k_2[H_2][Br] + k_3[H][Br_2] - k_4[H][HBr] \quad \dots \dots (3.22)$$

ใช้ steady state approximation

$$\frac{d[H]}{dt} = 0 = k_2[Br][H_2] - k_3[H][Br_2] - k_4[H][HBr] \quad \dots \dots (3.23)$$

$$\frac{d[Br]}{dt} = 0 = 2k_1[Br_2] - k_2[Br][H_2] + k_3[H][Br_2] + k_4[H][HBr] = 2k_5[Br]^2 \quad \dots \dots (3.24)$$

สมการ (3.23) + (3.24) จะได้

$$[Br]^2 = \frac{k_1[Br_2]^1}{k_5}$$

$$\text{เพรากะฉะนั้น } [Br] = (k_1/k_5)^{\frac{1}{2}} [Br_2]^{\frac{1}{2}}$$

แทนค่า $[Br]$ ในสมการ (3.23) MI $[H]$

$$[H] = \frac{k_2(k_1/k_5)^{\frac{1}{2}} [H_2][Br_2]^{\frac{1}{2}}}{k_3[Br_2] + k_4[HBr]}$$

แทนค่า $[Br]$ และ $[H]$ ในสมการ (3.22) จะได้

$$\frac{d[HBr]}{dt} = \frac{2k_2(k_1/k_5)^{\frac{1}{2}}(k_3/k_4)[H_2][Br_2]^4}{k_3/k_4 + [HBr]/[Br_2]} \quad \dots \dots (3.25)$$

สมการ (3.25) จะตรงกับผลการทดลองในสมการ (3.21) โดยที่

$$k_a = 2k_2(k_1/k_5)^{\frac{1}{2}}(k_3/k_4)$$

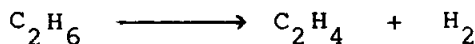
$$k_b = k_3/k_4$$

แสดงว่ากสไกทั้ง 5 ขั้นตอนที่เสนอมาถูกต้อง และปฏิกิริยานี้มีอันดับ 3/2 เมื่อเทียบ

$$\text{กับ } [\text{H}_2][\text{Br}_2]^{\frac{1}{2}}$$

กรณีปฏิกิริยาระหว่าง H_2 กับ Cl_2 ซึ่งคิดว่าจะมีกลไกเหมือนกับ H_2 กับ Br_2 แต่เนื่องจาก Cl_2 วงศ์ไวต่อแสงมากศึกษาได้ยาก รายละเอียดต่าง ๆ จะยังไม่กล่าวถึงในที่นี้

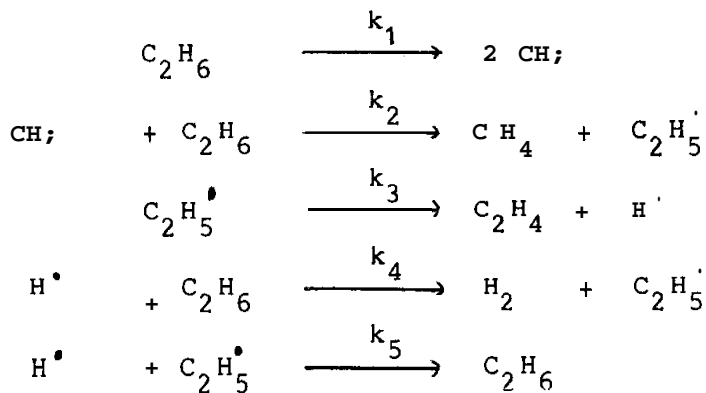
ปฏิกิริยาอื่น ๆ ที่เกิดโดยแตกตัวเป็นฟรีเอดดิคอล ก็มีอีกมาก many เช่น การแตกตัวของอีธane (Ethane) ไปเป็นเอธีลีน และไฮโดรเจน



จะได้อัตราการเกิดปฏิกิริยาเป็น

$$\frac{d[\text{C}_2\text{H}_4]}{dt} = k[\text{C}_2\text{H}_6]$$

กลไกที่เกิดแต่ละขั้นตอนนี้ได้ดังนี้



โดยใช้ steady-state approximation จะได้

$$k = \left(\frac{k_1 k_3 k_4}{k_5} \right)^{\frac{1}{2}}$$

3.4) ปฏิกิริยาในสารละลาย (Reactions in solution)

ปฏิกิริยาเคมีที่เกิดในสารละลาย ปกติคำว่า "สารละลาย" (solvent) จะมีปริมาณมากจนถือว่า ความเข้มข้นไม่เปลี่ยนแปลงไปกับปฏิกิริยา เพราะฉะนั้นในสมการอัตราจึงไม่ต้องเขียนแทนของความเข้มข้นของตัวทำละลายไว้ด้วย และในสมการเคมีทั่วๆ ไป ก็มักไม่ได้รวมเอาตัวทำละลายไว้ ซึ่งถือว่า ตัวทำละลายมีผลเป็นเพียงสิ่งแวดล้อมทางกายภาพเท่านั้น (physical environment) เมื่อเปรียบเทียบปฏิกิริยาที่เกิดในสภาวะ Kash กับในสารละลาย ปฏิกิริยาในสภาวะ Kash สามารถพิจารณาจากทฤษฎีจัลน์ของ Kash ได้ แต่ในสารละลายค่อนข้างจะซุ่มๆ เพราะมีความแตกต่างกันอย่างเช่น โมเลกุลของสารตั้งต้นจะมีการชนกับโมเลกุลของตัวทำละลายด้วย ถ้าหากมีอัตราการเกิดปฏิกิริยาใกล้เคียงกัน ทั้งในสภาวะ Kash และสารละลาย แสดงว่าตัวทำละลายไม่มีผลต่ออัตราการเกิดปฏิกิริยานั้น เช่นการถ่ายตัวของไนโตรเจนเพนตอกไซด์ด้วยความร้อน ตามตารางที่ 3.1

ตารางที่ 3.1 ค่า k , $\log A$ และ E_a ของปฏิกิริยาการถ่ายตัวของ N_2O_5 ในตัวทำละลายต่างๆ ที่ $25^\circ C$

ตัวทำละลาย	$k \times 10^5$	$\log A$	E_a (k cal)
สภาวะ Kash	3.38	13.6	24.7
CCl_4	4.09	13.8	25.5
$CHCl_3$	3.72	13.6	24.5
$ClCH=CHCl$	4.79	13.6	24.4
CH_3NO_2	3.13	13.5	24.5
Br_2	4.27	13.3	24.0

จะเห็นได้ว่าค่าคงที่อัตรา ค่าแฟคเตอร์แห่งความถี่ และค่าพลังงานgrade ตื้น มีค่าใกล้เคียงกันมาก ทั้งในสภาวะ Kash และในสารละลายที่มีตัวทำละลายต่างๆ กัน

ปฏิกิริยาอื่นๆ ก็มี เช่น การไดเมอไรเซชัน (dimerization) ของไซโคลเพนตадีอีน (cyclopentadiene) และการแตกตัว (dissociation) ของไดเมอร์ศึกษาได้ทั้งในสภาวะ Kash และสารละลาย พนbow มีค่าพลังงาน grade ตื้น และค่าแฟคเตอร์แห่งความถี่ในสภาวะ Kash และในสารละลายใกล้เคียงกัน แสดงว่าตัวทำละลายไม่มีผลต่ออัตราเร็ว แฟคเตอร์แห่งความถี่ และค่าพลังงาน grade ตื้น อย่างไรก็ตามปฏิกิริยาในสารละลายจำนวนมากที่ตัวทำละลายทำให้เกิดอ่อน อัตราการเกิดปฏิกิ-

กิริยาจะขึ้นกับสภาวะทางไฟฟ้าของอิオン และอิทธิพลจากค่าคงที่ไดอเลคทริก (dielectric constant)- ของตัวทำละลายด้วย

ข้อแตกต่างที่สำคัญอีกอย่างระหว่างปฏิกิริยานิสภาวะกับในสารละลายคือความถี่ของการชนกันของโมเลกุล พบร่วมกันในสารละลายจะมีความถี่ของการชนสูงกว่าในแก๊ส ผู้ที่ทำการทดลองเรื่องนี้ คือ ราบินิวิทช์ (Rabinowitch) โดยอาศัยพื้นฐานจากความคิดของ เดบาย (Debye) และเมนเก (Menke) ซึ่งทั้งสองคนหลังได้ศึกษาโครงสร้างprotolewisite ของproto acid โดยอาศัยทฤษฎีการชน แล้วรายโนวิทช์คำนวณความถี่ของการชน ปรากฏว่าในของเหลวมีค่าสูงกว่าในสภาวะกันประมาณ 2-3 เท่าต่อมาอีเวนส์ (Evans), โพลันyi (Polanyi) และเบลล์ (Bell) ใช้ทฤษฎีอัตราสัมบูรณ์ศึกษาความถี่ของการชน แต่มีปัญหาในการหา partition function ของโมเลกุลที่เป็นของเหลว เนื่องจากความซับซ้อนของการเคลื่อนที่แบบต่าง ๆ คือ translation, rotation และ vibration เขายังใช้ทฤษฎีอัตราสัมบูรณ์ในทอมของเอนโทรปีของการกระตุน (ΔS^\ddagger) แทน และพบว่าในโมเลกุลที่ไม่มีชาร์จ (nonpolar molecule) ในสารละลายจะมีค่าแฟคเตอร์แห่งความถี่มากกว่าในสภาวะกันประมาณ 3 เท่า ซึ่งให้ผลใกล้เคียงกันกับเดบาย และเมนเก แต่มีสมมติฐานว่าพลังงานกระตุนในสารละลายกับกากมีค่าเท่ากัน (อันนี้เป็นข้อเสียเพระจิง ๆ แล้ว E_a จะไม่เท่ากัน) เพราะฉะนั้นจากทฤษฎีการชนและทฤษฎีอัตราสัมบูรณ์ชี้ให้เห็นว่าอัตราการเกิดปฏิกิริยานิสภาวะจะมีค่าสูงกว่าในสภาวะกันประมาณ 3 เท่า ถ้ายอมรับว่าพลังงานกระตุนเท่ากัน ราบินิวิทช์และบูลได้แสดงการทดลองให้เห็นว่าในสารละลายนั้นจะมี 'cage effect' ซึ่งทำให้ความถี่ของการชนสูง เพราะโมเลกุลถูกบังคับให้อยู่ใกล้กันโดยตัวทำละลายและมีค่าพลังงานกระตุนต่ำ

3.4.1) ปฏิกิริยาระหว่างอิออน (Reactions between ions)

มีการทดลองมากมายที่แสดงให้เห็นถึงอิทธิพลของสิ่งต่าง ๆ ที่มีต่ออัตราการเกิดปฏิกิริยา อิออนิก แต่ที่พูดมากที่สุด ที่จะกล่าวถึงมี 3 ชนิด คือ

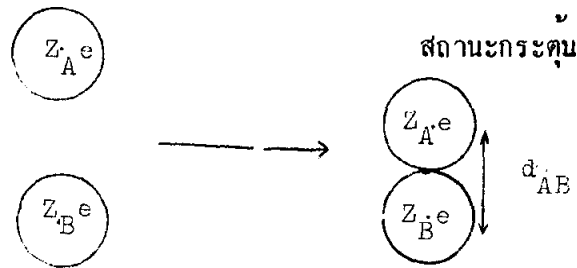
- ก) ธรรมชาติของตัวทำละลาย (the nature of the solvent)
 - ข) ธรรมชาติของอิออน (the nature of the ions)
 - ค) ความแรงของอิออนของสารละลาย (the ionic strength of the solution)
- ก) ธรรมชาติของตัวทำละลาย
จากสมการ (2.41)

$$k_r = \frac{kT}{h} \exp \left(- \frac{\Delta G^\ddagger}{RT} \right)$$

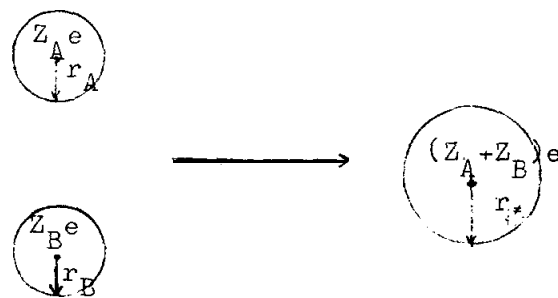
จะเห็นได้ว่าค่าคงที่อัตราขึ้นกับพลังงานอิสระของการกระตุ้น ΔG^* ในปฏิกิริยาอิօน นิ ก พบว่าแรงการทำการไฟฟ้า (electrostatic interaction) ล้มพันธ์กับ ΔG^* เพราะฉะนั้นสมมติให้อ่อน เป็นรูปทรงกลม (sphere) มีประจุ Z_A และ Z_B ตามลำดับ ตัวทำละลายมีค่าคงที่ไดอิเลคทริก ϵ กรณีแรกให้แยกตัวเดด คอมเพลกซ์ มีรูปร่างเป็นทรงกลม 2 ลูก (double - sphere) ดูรูปที่ 3.5 จะได้ค่าคงที่อัตราเป็น

$$\ln k_r = \ln k_\infty - \frac{Z_A Z_B e^2}{\epsilon d_{AB} kT} \quad \dots \dots (3.26)$$

โดยที่ k_r เป็นค่าคงที่อัตราเมื่อค่าคงที่ไดอิเลคทริกเป็นอนันต์ (infinite dielectric constant) e เป็นประจุของอิเลคตรอน และ d_{AB} เป็นระยะห่างระหว่างนิวเคลียสในแยกตัวเดดคอมเพลกซ์



รูปที่ 3.5 แสดงภาพแยกตัวเดดคอมเพลกซ์ที่มีรูปร่างเป็นทรงกลม 2 ลูก ข้อดีของการใช้แยกตัวเดดคอมเพลกซ์มาอธินายก็คือ จะให้มีรูปร่างอย่างไรก็ได้ ถ้าจะให้เป็นรูปทรงกลม 1 ลูก ก็ได้ (single-sphere) ตามรูป



รูปที่ 3.6 แสดงภาพแยกตัวเดดคอมเพลกซ์ที่มีรูปร่างเป็นทรงกลม 1 ลูก

กรณีนี้จะได้ค่าคงที่อัตราเป็น

$$\ln k_r = \ln k_o - \frac{e^2}{2\epsilon kT} \left[\frac{(Z_A + Z_B)^2}{r_*} - \frac{Z_A^2}{r_A} - \frac{Z_B^2}{r_B} \right] \dots (3.27)$$

สมการ (3.27) ถ้า $r_A = r_B = r_z$ จะเหมือนกับสมการ (3.26)

นำไปเขียนกราฟระหว่าง $\ln k_f$ กับ $\frac{1}{E}$ ได้เป็นกราฟเส้นตรงยกเว้นที่ $E = 0$ เพราะจะนั้นจะเห็นว่า ค่าคงที่ได้อิเลคตริกของตัวทำละลาย จะมีผลต่ออัตราการเกิดปฏิกิริยาด้วย

๙) ธรรมชาติของอิօன

ในปฏิริยาระหว่างอ่อนที่มีประจุลบเมื่อกัน หรือ ประจุบวกเมื่อกัน แอดดิติเวเตด คอมเพลกซ์ จะมีประจุเพิ่มเป็นสองเท่า ทำให้ไม่เกิดของตัวทำลายเข้ามาอยู่ใกล้คอมเพลกซ์มากขึ้น เนื่องจากแรงทางไฟฟ้า ทำให้อิสระในการเคลื่อนที่ลดลงและเอนไทร์ปิดลงด้วย เป็นผลให้เอนไทร์ ปีของกรรมดูดูเป็นลบ แต่ในการณ์ปฏิริยาระหว่างอ่อนที่มีประจุตรงกันข้าม ประจุของแอดดิติเว เตด คอมเพลกซ์จะลดลงอิสระในการเคลื่อนที่จะเพิ่มขึ้น และเอนไทร์ปีของกรรมดูดูจะมีค่า เป็นบวก

พิจารณาสมการ (2.52) จะพบว่า ค่าแฟคเตอร์แห่งความถี่ จะเป็นสัดส่วนกับค่า $\exp(\Delta S^*/R)$ เพราะฉะนั้นในปฏิกิริยาระหว่างอิオนที่มีประจุเหมือนกัน ΔS^* มีค่าเป็นลบ ค่าแฟคเตอร์แห่งความถี่จะน้อยกว่าปกติ และในปฏิกิริยาระหว่างอิオนที่มีประจุต่างกัน ΔS^* มีค่าเป็นบวก ค่าแฟคเตอร์แห่งความถี่จะมากกว่าปกติ ดูตารางที่ 3.2

ผลลัพธ์ที่ได้จากการคำนวณ (ΔG°) แสดงถึงความสามารถในการอ่อนตัวของสาร

$$A \cdot G^* = \frac{N Z_A Z_B e^2}{\epsilon d_{AB}} \quad \dots \dots (3.28)$$

ความสัมพันธ์ระหว่างเอนโทรปีกับพลังงานอิสระ คือ

$$S = - \left(\frac{\Delta G}{\partial T} \right)_P \quad \dots \dots (3.29)$$

เพราจะนั่นอาจเขียนได้ว่า

$$\left(\frac{\partial \Delta G}{\partial T} \right) \dots \dots (3.30)$$

ในสมการ (3.28) ค่า ϵ แบ่งตามอุณหภูมิเพียงครั้งเดียว เพราะฉะนั้น

$$\Delta S^* = \left(\frac{NZ_A Z_B e^2}{\epsilon^2 d_{AB}} \right) \left(\frac{\partial \ln \epsilon}{\partial T} \right)_P$$

$$= \left(\frac{NZ_A Z_B e^2}{\epsilon d_{AB}} \right) \left(\frac{\partial \ln \epsilon}{\partial T} \right)_P \quad \dots \dots (3.31)$$

ในสารละลายที่มีน้ำเป็นตัวทำละลาย (aqueous solution) ค่า ϵ ประมาณ 80 ค่า $(\frac{\partial \ln \epsilon}{\partial T})_P$ จะมีค่าประมาณ -0.0046 ถ้า d_{AB} เท่ากับ $2 \times 10^{-8} \text{ cm}$ สมการ (3.31) จะได้

$$\Delta S^* \approx -10 Z_A Z_B \quad \dots \dots (3.32)$$

จะเห็นได้ว่า ถ้า $Z_A Z_B$ เป็นลบทั้งคู่หรือบวกทั้งคู่ ΔS^* จะเป็นลบ ถ้า $Z_A Z_B$ มีประจุต่างกัน ΔS^* จะเป็นบวก

ตาราง 3.2 แสดงค่า ΔS^* และ A ของปฏิกิริยาระหว่างอิオン

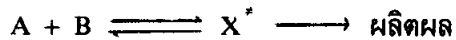
สารเคมี	$A \text{ (dm}^3 \cdot \text{mol}^{-1} \cdot \text{s}^{-1}\text{)}$	$\Delta S^* \text{ (J.K}^{-1} \cdot \text{mol}^{-1}\text{)}$
$S_2O_3^{2-} + SO_3^{2-}$	2×10^6	-30
$Co(NH_3)_5 Br^{2+} + Hg^{2+}$	1×10^8	-100
$[Cr(H_2O)_6]^{3+} + CNS^-$	1×10^{19}	30
$Co(NH_3)_5 Br^{2+} + OH^-$	5×10^{17}	22

ค) ความแรงของอิออนของสารละลาย

บรอนสเตด (Bronsted), เจร์รัม (Bjerrum) และคริสเทียนเซ่น (Christiansen) ได้แสดงให้เห็นว่าอัตราการเกิดปฏิกิริยาระหว่างอิออนจะขึ้นกับความแรงของอิออนของสารละลาย และความแรงของอิออนของสารละลายสามารถเปลี่ยนแปลงได้โดยการเติมเกลือที่ไม่เข้าร่วมกับปฏิกิริยา

(inert salt) ซึ่งเรียกกันว่า 'primary salt effect'

พิจารณาปฏิกิริยาระหว่างอิออน



$$\text{อัตราการเกิดปฏิกิริยา} \quad v = k' [X^*] \quad \dots \dots (3.33)$$

ค่าคงที่สมดุลเขียนในรูปความสัมพันธ์กับแยกตัว (a) คือ

$$K = \frac{a_*}{a_A a_B} = \frac{[X^*]}{[A][B]} \frac{\gamma^*}{\gamma_A \gamma_B} \quad \dots \dots (3.34)$$

โดยที่ $a = \gamma C$ เมื่อ γ คือสัมประสิทธิ์ของแยกตัว (activity coefficient) และ C เป็นความเข้มข้น

จากสมการ (3.34) แทนค่า $[X^*]$ ลงในสมการ (3.33)

$$\text{เพราะฉะนั้น} \quad v = k' K[A][B] \frac{\gamma_A \gamma_B}{\gamma_*} \quad \dots \dots (3.35)$$

เราอาจเขียนอัตราการเกิดปฏิกิริยาในรูป

$$v = k [A][B] \quad \dots \dots (3.36)$$

เปรียบเทียบสมการ (3.35) กับ (3.36) จะได้

$$k = k' K \frac{\gamma_A \gamma_B}{\gamma_*} \quad \dots \dots (3.37)$$

ถ้า K เป็นค่าคงที่อัตราเมื่อความเจือจางเป็นอนันต์ (infinite dilution) ค่าสัมประสิทธิ์ของแยกตัวจะเป็น 1 เพราะฉะนั้น

$$k_0 = k' K \quad \dots \dots (3.38)$$

แทนค่า k_0 จากสมการ (3.38) ลงใน สมการ (3.37)

$$k = k_0 \frac{\gamma_A \gamma_B}{\gamma_*} \quad \dots \dots (3.39)$$

$$\text{ใส่ } \log \text{ จะได้ } \log k = \log k_0 + \log \left(\frac{\gamma_A \gamma_B}{\gamma} \right) \quad \dots \dots (3.40)$$

การเปลี่ยนค่า γ ให้อยู่ในแทนของความแรงของอิオン (I) จะอาศัยกฎจำกัดของเดบาย-ชักเกล (Debye-Hückel limiting law) คือ

$$\log \gamma = - AZ^2 \sqrt{I}$$

โดยที่ A เป็นค่าคงที่ของเดบาย-ชักเกล, I เป็นความแรงของอิออนมีค่าเท่ากับ

$$\frac{1}{2} \sum c_i z_i^2 \quad \text{ เพราะฉะนั้นจะได้}$$

$$\begin{aligned} \log \frac{\gamma_A \gamma_B}{\gamma} &= - A\sqrt{I} [z_A^2 + z_B^2 - (z_A + z_B)^2] \\ &= 2AZ_A Z_B \sqrt{I} \quad \dots \dots (3.41) \end{aligned}$$

แทนค่าสมการ (3.41) ลงใน (3.40) จะได้

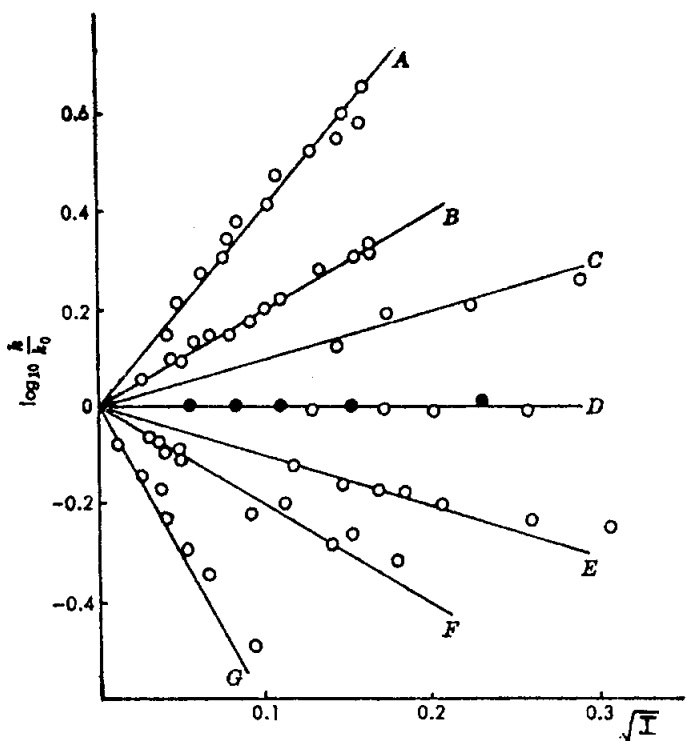
$$\log k = \log k_0 + 2AZ_A Z_B \sqrt{I} \quad \dots \dots (3.42)$$

สมการ (3.42) เรียกว่า ความสัมพันธ์บอร์นสเตด-เจอร์รัม (Bronsted-Bjerrum relationship) ถ้าเขียนกราฟระหว่าง $\log k$ กับ \sqrt{I} จะได้กราฟเส้นตรง มีความชันเท่ากับ $2AZ_A Z_B$ จุดตัดแกนตั้ง (intercept) เท่ากับ $\log k_0$ สำหรับในสารละลายน้ำที่ 25°C ค่า A = $0.51 \text{ dm}^{3/2} \cdot \text{mol}^{-1/2}$

สมการ (3.42) อาจเขียนใหม่ได้

$$\log \frac{k}{k_0} = 2AZ_A Z_B \sqrt{I} \quad \dots \dots (3.43)$$

สมการ (3.43) เขียนกราฟระหว่าง $\log \frac{k}{k_0}$ กับ \sqrt{I} ของปฏิกิริยาต่าง ๆ แสดงให้เห็นในรูป 3.7



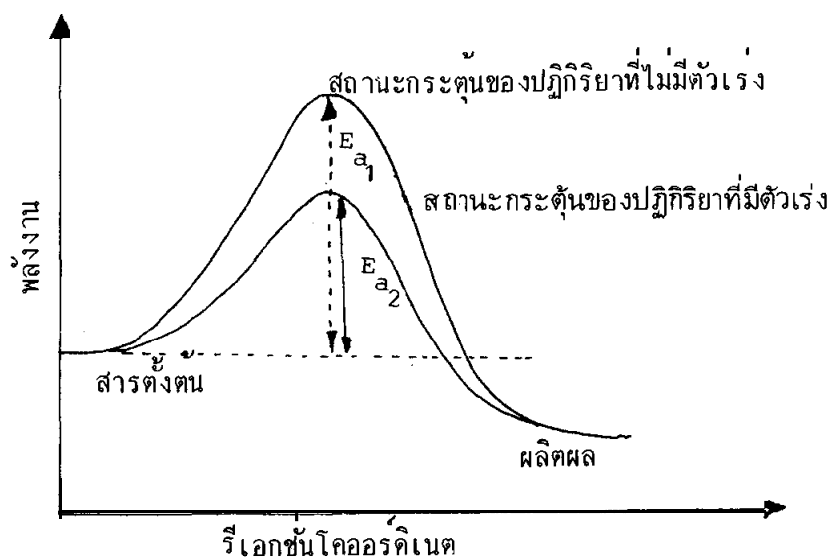
รูปที่ 3.7 กราฟระหว่าง $\log \frac{k}{k_o}$ กับ \sqrt{I} ของปฏิกิริยาระหว่าง

A	$\text{Co}(\text{NH}_3)_5\text{Br}^{2+} + \text{Hg}^{2+}$	$(Z_A Z_B = 4)$
B	$\text{S}_2\text{O}_8^{2-} + \text{I}^-$	$(Z_A Z_B = 2)$
C	$[\text{CO}(\text{OC}_2\text{H}_5)_5\text{NO}_2]^- + \text{OH}^-$	$(Z_A Z_B = 1)$
D	$[\text{Cr}(\text{Urea})_6]^{3+} + \text{H}_2\text{O}$ (○)	$(Z_A Z_B = 0)$
	$\text{CH}_3\text{COOC}_2\text{H}_5 + \text{OH}^-$ (●)	$(Z_A Z_B = 0)$
E	$\text{H}^+ + \text{Br}^- + \text{H}_2\text{O}_2$	$(Z_A Z_B = -1)$
F	$\text{Co}(\text{NH}_3)_5\text{Br}^{2+} + \text{OH}^-$	$(Z_A Z_B = -2)$
G	$\text{Fe}^{2+} + \text{Co}(\text{C}_2\text{O}_4)_3^{3-}$	$(Z_A Z_B = -6)$

พิจารณากราฟที่ 3.7 จะเห็นได้ว่า ปฏิกิริยาระหว่างอิオンที่มีประจุเมื่อนักัน ความชันของเส้นกราฟจะเป็นบวก และว่าอัตราการเกิดปฏิกิริยาจะเพิ่มตามความแรงของอิออน ส่วนปฏิกิริยาระหว่างอิออนที่มีประจุต่างกัน ความชันของเส้นกราฟจะเป็นลบ และว่าอัตราการเกิดปฏิกิริยาจะลดลง เมื่อความแรงของอิออนเพิ่มขึ้น สำหรับปฏิกิริยาระหว่างอิออนกับโมเลกุลที่เป็นกลาง (Neutral molecule) ผลคูณของประจุจะเป็นศูนย์ ความชันของเส้นกราฟมีค่าเป็นศูนย์ และว่าการเพิ่มความแรงของอิออนไม่มีผลต่ออัตราการเกิดปฏิกิริยาเลย

3.5) ปฏิกิริยาเคมีตัวเร่ง (Catalysed reaction)

ปฏิกิริยาเคมีตัวเร่ง หมายถึงปฏิกิริยาที่มีการเติมตัวเร่ง (catalyst) เข้าไป เพื่อทำให้ปฏิกิริยาเกิดเร็วขึ้น แต่หลังจากปฏิกิริยาเกิดสิ้นสุดแล้ว จะได้ตัวเร่งกลับคืนมา ประโยชน์ของตัวเร่งใช้กันมากในอุตสาหกรรมเคมี เนื่องจากสามารถเพิ่มประสิทธิภาพของกระบวนการเกิดปฏิกิริยาและลดต้นทุนการผลิต ดังนั้นการค้นคว้าตัวเร่งใหม่ ๆ จึงมีอยู่เสมอ แม้ว่าจะมีปฏิกิริยาเคมีตัวเร่งหลายชนิดที่ยังไม่เข้าใจกลไกของมัน และยังมีตัวเร่งบางตัวที่ใช้ในอุตสาหกรรมเป็นการค้นพบโดยวิธีสุ่ม (trial and error) มากกว่าจะเป็นการวิจัย การใส่ตัวเร่งลงไปในปฏิกิริยาจะไม่ทำให้ค่าคงที่สมดุลเปลี่ยนแปลง เพียงแต่ทำให้eng สภาวะสมดุลเร็วขึ้น การที่เป็นเช่นนี้พราะว่าตัวเร่งเข้าไปทำให้พลังงานระดับของปฏิกิริยาลดต่ำลงจากเดิม โอกาสเกิดปฏิกิริยาจึงง่ายขึ้น เพราะกำแพงกำลังงาน (energy barrier) ต่ำลง พิจารณากราฟที่ 3.8



รูปที่ 3.8 แผนภาพพลังงานศักย์ของปฏิกิริยาที่มีตัวเร่งเปรียบเทียบกับปฏิกิริยาที่ไม่มีตัวเร่ง

จะเห็นว่าในปฏิกิริยาที่มีตัวเร่งพลังงานกระดัน E_a , จะน้อยกว่าพลังงานกระดัน E_a' , ของปฏิกิริยาที่ไม่มีตัวเร่ง ปฏิกิริยาขอนกลับก็เกิดด้วยอัตราเร็วมากขึ้น เช่นกัน แต่ไม่ทำให้สภาวะสมดุลเปลี่ยนแปลงไป เนื่องจากเพิ่มในสัดส่วนที่เท่าเดิมเมื่อเทียบกับปฏิกิริยาไปข้างหน้า

สารบางชนิดเมื่อเติมลงไปในปฏิกิริยา ทำให้ปฏิกิริยาเกิดช้าลงหรือหยุดยั้งปฏิกิริยาได้อย่างสิ้นเชิง เรียกว่าสารพัวนี้ว่า ตัวยับยั้ง (inhibitor) ตัวยับยั้งไม่เพียงแต่สามารถเปลี่ยนแปลงอัตราการเกิดปฏิกิริยาเท่านั้น แต่สามารถเปลี่ยนองค์ประกอบสมดุลเทอร์โมไดนามิกส์ของระบบด้วย แสดงว่าตัวยับยั้งถูกทำให้เปลี่ยนแปลงในปฏิกิริยาด้วย การที่เรียกตัวยับยั้งว่าเป็นตัวเร่งปฏิกิริยาแบบลบ (negative catalysts) จึงเป็นความเข้าใจผิด ปฏิกิริยาจะ分成 2 ประเภทใหญ่ ๆ โดยพิจารณาจากวัฏภาพของสาร คือ

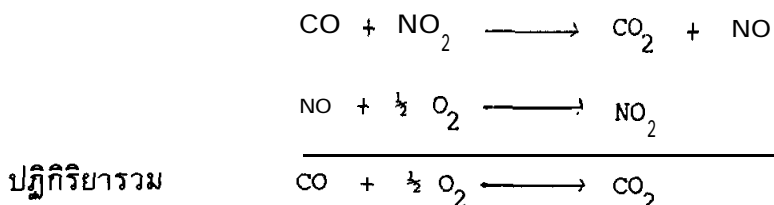
- ก) 侃ตะลิซิสประเกทเอกพันธ์ (homogeneous catalysis)
- ข) 侃ตะลิซิสประเกทวิรพันธ์ (heterogeneous catalysis)

3.5.1) 侃ตะลิซิสประเกทเอกพันธ์

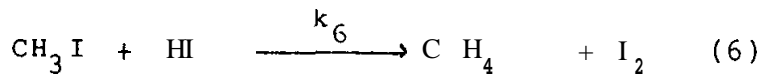
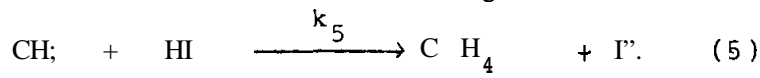
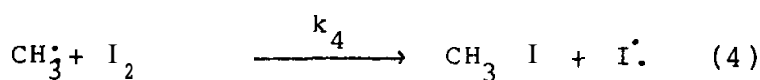
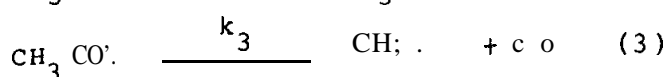
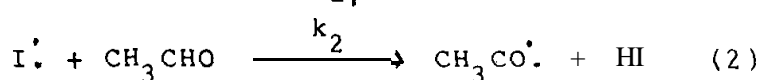
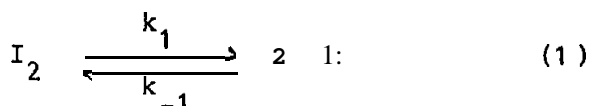
เป็นปฏิกิริยาที่สารตั้งต้น ตัวเร่ง (catalyst) และตัวทำละลาย (solvent) (ถ้ามี) อยู่ในวัฏภาพเดียวกัน กรณีนี้นั่งของภาชนะจะไม่มีผลต่ออัตราการเกิดปฏิกิริยา ดังนั้นการใส่สารที่เป็นของแข็งและไม่ว่องไวต่อปฏิกิริยาลงไปเพื่อเพิ่มอัตราส่วนพื้นที่ผิวต่อปริมาตร จะไม่ทำให้อัตราการเกิดปฏิกิริยาเปลี่ยนแปลง ตัวอย่างของปฏิกิริยาพหุนี้ จะแยกพิจารณาคือ

ก) ปฏิกิริยาสภาวะกําช (Gas-phase reaction)

ในปฏิกิริยาประเกทนี้พบว่าในโครงเจนไดออกไซด์ เป็นตัวเร่งที่มีประสิทธิภาพมากตัวหนึ่ง ตัวอย่างเช่น การออกซิเดชันของคาร์บอนมอนอกไซด์ เกิดเป็น 2 ขั้นตอน



ไอโอดีน (Iodine vapour) เป็นตัวเร่งอีกด้วยหนึ่งที่ใช้มาก เช่นปฏิกิริยาการสลายตัวของอะซีตัลไดไฮด์ (acetaldehyde) ซึ่งมีกลไกดังนี้



โดยการใช้ Steady-state approximation จะได้สมการอัตราเป็น

$$-\frac{d [CH_3 CHO]}{dt} = k [I_2]^{\frac{1}{2}} [CH_3 CHO]$$

$$\text{เมื่อ } k = (k_1 / 2k_{-1})^{\frac{1}{2}} \cdot k_2$$

เบรียบเทียบพลังงานgrade ที่ไม่ตัวเร่ง มีค่า 198 kJ.mol^{-1} และเมื่อใส่ตัวเร่งลงไป พลังงาน grade ต้นลดลงเป็น 134 kJ.mol^{-1} เพราะฉะนั้นพลังงาน grade ต้นลดลงถึง 64 kJ.mol^{-1}

ข) คณะลิซิสโดยกรดและเบส (Acid-base catalysis)

ปฏิกิริยาคณะลิซิสประนาบทอกพันธุ์ในสารละลายเป็นจำนวนมากที่ตัวเร่งมักจะเป็นกรด และเบส ตัวอย่างเช่นปฏิกิริยาไฮโดราลิซิสของเอสเทอร์โดยกรด หรือเบส หรือปฏิกิริยานิวตาโรเตชัน (mutarotation) ของกลูโคส เป็นต้น

พิจารณาในปฏิกิริยาที่มีกรดเป็นตัวเร่ง อัตราการเกิดปฏิกิริยาขึ้นกับความเข้มข้นของกรด และสารตั้งต้น (นิยมเรียก substrate, S) ซึ่งเกิดในขั้นตอนปฏิกิริยาปฐม (elementary reaction)

$$v = k_H^+ \cdot [H^+] \cdot [S] \dots \dots \dots (3.44)$$

เมื่อ k_H^+ เป็นค่าคงที่อัตราของปฏิกิริยาไฮโดรเจนออกอนคณะลิซิส จะเห็นว่าเป็นปฏิกิริยาอันดับสอง ถ้าความเข้มข้นของไฮโดรเจนออกอนคงที่ จะเป็นปฏิกิริยาอันดับหนึ่ง

$$v = k_{H^+} [S] \dots \dots \dots (3.45)$$

ค่าคงที่อัตราอันดับหนึ่งสัมพันธ์กับค่าคงที่อัตราอันดับสอง คือ

$$k_{H^+} = k_{H^+} [H^+] \dots \dots \dots (3.46)$$

ในการณีที่ขบวนการจะต้องได้รับอิทธิพลจากไฮโดรเจนออกไซด์ อิโอน และปฏิกิริยาอาจเกิดไปได้เองด้วยคือไม่มีตัวเร่ง อัตราการเกิดปฏิกิริยาจะเป็น

$$v = k_o [S] + k_{H^+} [H^+] [S] + k_{OH^-} [OH^-] [S] \dots \dots \dots (3.47)$$

เพราะฉะนั้นค่าคงที่อัตราอันดับหนึ่ง (first-order rate constant) คือ

$$k = k_o + k_{H^+} [H^+] + k_{OH^-} [OH^-] \dots \dots \dots (3.48)$$

โดยที่ k_o เป็นค่าคงที่อัตราของปฏิกิริยาแบบเกิดขึ้นเอง (spontaneous reaction) k_{H^+} และ k_{OH^-} เป็นค่าคงที่จะตัดลิซิต (catalytic constants) ของ H^+ และ OH^- ตามลำดับ

เนื่องจาก $K_w = [H^+] [OH^-]$ เมื่อ K_w เป็นค่าคงที่ของผลคูณของอิโอน (ionic product constant) ของน้ำ เพราะฉะนั้น $[OH^-] = K_w / [H^+]$ แทนค่าในสมการ (3.48)

$$k = k_o + k_{H^+} [H^+] + k_{OH^-} K_w / [H^+] \dots \dots \dots (3.49)$$

หรืออาจแทน $[H^+] = K_w / [OH^-]$ ในสมการ (3.48)

$$k = k_o + k_{H^+} K_w / [OH^-] + k_{OH^-} [OH^-] \dots \dots \dots (3.50)$$

ส่วนมากเทอมเหล่านี้มีความเข้มข้นมีเปรียบเทียบกันจะมีบางเทอมที่มีค่าน้อยจนต้องก ได้ เช่น ถ้าการเกลือเข้มข้น 0.1 N เทอมที่ 2 ในสมการ (3.49) จะเป็น $k_{H^+} \times 10^{-1}$ ขณะที่เทอมที่ 3 เป็น $(k_{OH^-}) \times 10^{-13}$ (เพราะว่าค่า $K_w = 10^{-14}$) จึงตัดเทอมที่ 3 ออกไปได้ เพราะฉะนั้นความเข้มข้นของ OH^- ที่เป็นตัวเร่งจะมีค่าน้อยมากเมื่อเทียบกับ H^+

สคราบอล (Skrabal) ได้ศึกษาปฏิกิริยาพากนี้ โดยการเขียนกราฟระหว่าง $\log k$ กับ pH ซึ่งแสดงให้เห็นในรูปที่ 3.9 โดยแยกพิจารณาในปฏิกิริยาที่มีความเข้มข้นของกรดสูง สม-

การ (3.48) จะเป็น

$$k = k_{H^+} [H^+]$$

ใส่ log จะได้

$$\begin{aligned}\log k &= \log k_{H^+} + \log [H^+] \\ \log k &= \log k_{H^+} - pH \quad \dots \dots (3.51)\end{aligned}$$

เขียนกราฟระหว่าง $\log k$ กับ pH ในช่วงของกรดจะได้กราฟเส้นตรงมีความชันเท่ากับ -1

ถ้าในปฏิกิริยาที่มีความเข้มข้นของเบสสูง สมการ (3.48) จะเป็น

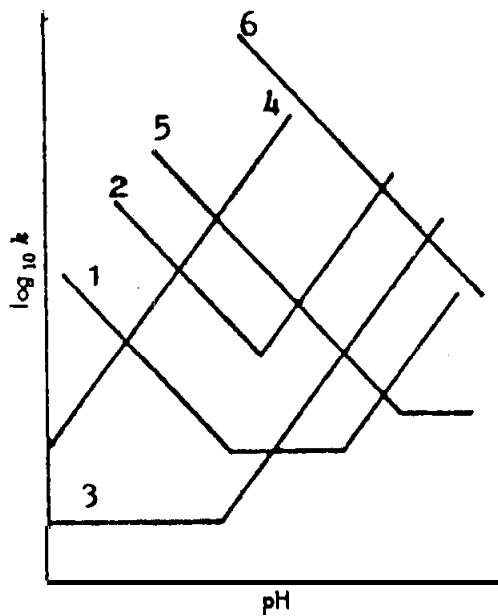
$$\begin{aligned}k &= k_{OH^-} [OH^-] \\ &= k_{OH^-} \frac{K_w}{[H^+]}\end{aligned}$$

ใส่ log จะได้

$$\log k = \log k_{OH^-} - K_w + pH \quad \dots \dots (3.52)$$

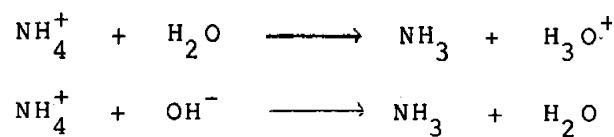
เขียนกราฟระหว่าง $\log k$ กับ pH จะได้กราฟเส้นตรงมีความชันเท่ากับ +1

อัตราการเกิดปฏิกิริยาระหว่างกลาง ๆ จะเท่ากับ $k_o[S]$ คือไม่มีผลจาก H^+ และ OH^- คำนวณได้โดยตรงจากกราฟในช่วงนี้ ตัวอย่างเช่นปฏิกิริยาเมวิตาโรเตชัน (mutarotation) ของกลูโคสในกราฟเส้นที่ 1 แต่ถ้าอัตราการเกิดปฏิกิริยาแบบเกิดขึ้นเอง (spontaneous-reaction) มีค่าน้อยมาก คือ k_o น้อยมาก เส้นกราฟตรงช่วงที่ขานกับแกนนอนจะไม่มี เช่นกราฟเส้น 2 พบนปฏิกิริยา เช่น ชาโลจิเนชัน (halogenation) ของอะซีโตน (Acetone) และปฏิกิริยาไฮโดรลิซิต ของพากເອສເທອຣ ถ้า k_{H^+} หรือ k_{OH^-} น้อยมาก หมายถึงปฏิกิริยาเกิดได้เองเป็นสำคัญ หมายถึง k_o มีค่ามาก ความชันจะเป็นศูนย์ กรณีแรก k_{H^+} น้อยมาก จึงคิดเฉพาะ k_o กับ k_{OH^-} จะได้กราฟเส้น 3 เช่นในปฏิกิริยาแอลดอลคอนเดนเซชัน (Aldol condensation) ของอะซีตัลไดไฮด์ (acetaldehyde) และถ้า k_{H^+} กับ k_o น้อยมาก ทั้งคู่จะได้กราฟเส้นที่ 4 ซึ่งคิดเฉพาะ k_{OH^-}



รูปที่ 3.9 ผลของ pH ที่มีต่ออัตราการเกิดปฏิกิริยาที่มีกรด-เบส เป็นตัวเร่ง

ในลักษณะเดียวกัน ถ้า k_{OH^-} น้อยมาก จะได้กราฟเส้น 5 ซึ่งคิดเฉพาะ k_{H^+} กับ $k_{\text{H}_2\text{O}}$ ในปฏิกิริยา อินเวอร์ชัน (inversion) ของน้ำตาล และถ้า k_{OH^-} และ $k_{\text{H}_2\text{O}}$ น้อยมากทั้งคู่ จะได้กราฟเส้น 6 ซึ่งคิดเฉพาะ k_{H^+} อย่างเดียว กรณีที่ก่อสภาวะหั้งหมัดนี้เป็นปฏิกิริยาที่คิดเฉพาะตัวเร่งที่เป็น H^+ และ OH^- เท่านั้น ซึ่งเรียกว่า specific acid-base catalysis ยังมีอีกประเภทหนึ่งซึ่งถือหลัก ของบرونสเตด-เลารี (Bronsted-Lowry) ที่ว่ากรดเป็นสารที่ให้ proton และเบสเป็นสารที่รับ proton เพราะฉะนั้นไม่จำเป็นว่าจะต้องเป็น H^+ และ OH^- เท่านั้น สารใดที่เป็นตัวเร่งและมีคุณ สมบัติตามนิยามของบرونสเตด-เลารี ก็ถือเป็น acid-base catalysis และเรียกว่า general acid-base catalysis เช่น แอมโมเนียมอ่อนจะให้ proton ในปฏิกิริยาข้างล่างนี้ ก็มีสมบัติเป็นกรด



พิจารณา H_2O และ OH^- ในปฏิกิริยาข้างบนจะเห็นว่ารับ proton จึงมีสมบัติเป็น เบส พ ragazziอนลบเช่นพาก แอนอิโอน (anion) ของกรด ก็มีสมบัติเป็นเบสด้วย ดังปฏิกิริยา



ในปฏิกริยาเหล่านี้การทําปฏิกริยากับเบสจะให้การดักเบสคุ้นใหม่ เช่น



ในการนี้ทั้ง ๆ ไป เมื่อการละลายน้ำจะแตกตัวดังสมการ



HA ทำหน้าที่เป็นกรดเนื้องจากให้ proton ขณะที่ A⁻ สามารถรับ proton จากน้ำได้ จึงมีสมบัติเป็นเบส



เพราจะน้อเจย์ค่าคงท้อตราชของปฏิกริยาได้เป็น

$$k = k_o + k_H \cdot [H_3O^+] + k_{OH} \cdot [OH^-] + k_{HA} [HA] + k_A \cdot [A^-] \dots (3.53)$$

k_o เป็นค่าคงที่อัตราปฏิกิริยาแบบเกิดขึ้นเอง (spontaneous reaction) k_H^+ , k_{OH^-} k_{HA} และ k_A^- เป็นค่าคงที่อัตราของปฏิกิริยาที่มีด้วยเป็นกรด H^+ เบส OH^- กรด HA และเบส A^- ตามลำดับ จะเห็นได้ว่ากรณีของ general acid-base catalysis จะมีเทอมอื่น ๆ นอกเหนือจาก H^+ และ OH^- มาเกี่ยวข้องด้วย

ถ้าในสารละลายถูกควบคุมด้วยบัฟเฟอร์ (buffer) H_3O^+ และ OH^- จะไม่มีผลต่ออัตราการเกิดปฏิกิริยา เพราะจะนับ k_{H^+} และ k_{OH^-} ตัดออกไปได้ อัตราการเกิดปฏิกิริยาจะขึ้นกับความเข้มข้นของกรดที่ไม่แตกตัว (undissociated acid) HA และความเข้มข้นของคู่เบส (conjugate base) A^- และถ้าปฏิกิริยาแบบเกิดขึ้นเองมีค่าน้อยมาก สมการ (3.53) จะได้เป็น

$$k = k_{HA} [HA] + k_A \cdot [A^-] \dots \dots (3.54)$$

ปฏิกิริยานี้จะศึกษาที่ pH ต่างกัน 2 ค่า ค่า $\frac{[HA]}{[A^-]}$ จะเป็นค่าคงที่ที่ทราบได้ 2 ค่า เช่นกัน สมมติให้เป็น x_1 และ x_2 ตามลำดับ เพราะฉะนั้นที่ pH ค่าหนึ่ง $[A^-] = \frac{[HA]}{x_1}$ และอีกค่าหนึ่ง $[A^-] = \frac{[HA]}{x_2}$ แทนค่า $[A^-]$ ลงในสมการ (3.54)

$$k = k_{HA} [HA] + k_{A^-} \cdot \frac{[HA]}{x_1}$$

$$= (k_{HA} + \frac{k_{A^-}}{x_1}) [HA] \quad \dots \dots (3.55)$$

เขียนกราฟระหว่าง k กับ $[HA]$ จะได้กราฟเส้นตรงความชันเป็น $k_{HA} + \frac{k_{A^-}}{x_1}$ สำหรับที่ pH อีกค่าหนึ่ง จะได้

$$k = k_{HA} [HA] + k_{A^-} \cdot \frac{[HA]}{x_2}$$

$$= (k_{HA} + \frac{k_{A^-}}{x_2}) [HA] \quad \dots \dots (3.56)$$

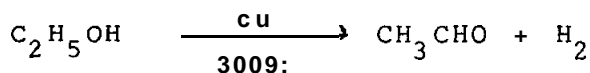
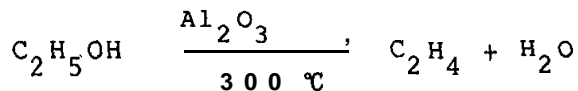
เขียนกราฟระหว่าง k กับ $[HA]$ จะได้กราฟเส้นตรงความชันเป็น $k_{HA} + \frac{k_{A^-}}{x_2}$ ค่าความชันที่ได้ 2 ค่านี้ นำไปหาค่า k_{HA} และ k_{A^-} ได้

ใช้วิธีการแบบนี้ สามารถจะห้าค่าคงที่อัตราทั้ง 5 ค่าในสมการ (3.53) ได้ และจะได้ค่า k ของปฏิกิริยารวมที่อุณหภูมิ และ pH ที่กำหนดให้ เบลล์ (Bell) และ琼斯 (Jones) ได้หาค่าคงที่ของปฏิกิริยาไอโอดีเนชัน (iodination) ของยาซีโตน ได้คือ $k_o = 5 \times 10^{-10} s^{-1}$, $k_{H^+} = 1.6 \times 10^{-3} dm^3 \cdot mol^{-1} \cdot s^{-1}$, $k_{OH^-} = 15 dm^3 \cdot mol^{-1} \cdot s^{-1}$, $k_{HA} = 5 \times 10^{-6} dm^3 \cdot mol^{-1} \cdot s^{-1}$ และ $k_{A^-} = 15 \times 10^{-6} dm^3 \cdot mol^{-1} \cdot s^{-1}$

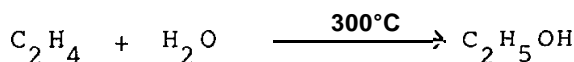
3.5.2) คณะลิซิสประเทวิชพันธ์ (Heterogeneous catalysis)

มีปฏิกิริยาจำนวนมากที่เกิดขบวนการคณะลิซิสที่ผิวน้ำระหว่างวัสดุ催化ของระบบที่มีมากกว่าหนึ่งวัสดุ เช่น กาซ-ของแข็ง ของเหลว-ของแข็ง ซึ่งตัวเร่งที่ใช้มักเป็นของแข็ง อัตราการเกิดปฏิกิริยาจะขึ้นกับความเข้มข้นของสารตั้งต้นที่อยู่ต่ำผิวน้ำอยู่ต่อ คณะลิซิสประเภทนี้ ในขบวนการอุตสาหกรรมใช้กันมาก เช่น

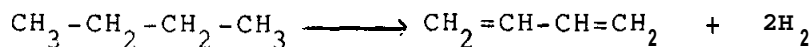
1) การถลวยตัวของสารอินทรีย์ (Organic decompositions) เช่นการเตรียมเอธิลีน และอาเซตัลไซด์ จากเอทานอล โดยใช้อุณหภูมิเนี่ยมออกไซด์และทองแดงเป็นตัวเร่งตามลำดับ



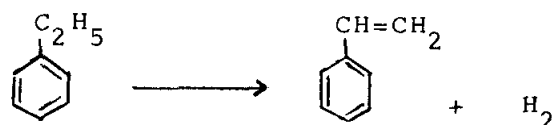
2) การไฮเดրตาชันของสารไฮโดรคาร์บอนที่ไม่อิ่มตัว (Hydration of unsaturated hydrocarbons) เช่น การเตรียมเอทานอลจากการไฮเดรตตันของเอธิลีนที่ความดันสูง โดยใช้กรดฟอฟอริกที่ถูกดูดซึ้ง (adsorbed) อยู่บนเซลลิต (celite) เป็นตัวเร่ง



3) การดีไฮดรอเจนชัน (Dehydrogenation) เช่นการเตรียม 1,3-บิวตานาไดอีนจากบิวเทน โดยใช้อุณหภูมิเนี่ยมออกไซด์-ไฮดรอกซิล (III) ของไชลด์เป็นตัวเร่ง



การเตรียมสไตรีนจากเอธิลเบนزن ที่ 650°C โดยใช้เหล็กออกไซด์เป็นตัวเร่ง

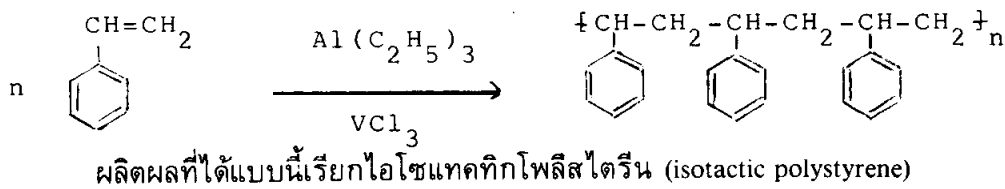


4) การไฮโดรคลอริเนชัน (Hydrochlorination) เช่น การเตรียมไวนิลคลอร์ไรด์จากปฏิกิริยาระหว่างอะเซทิลีน กับกรดเกลือ ที่ 200°C โดยใช้ เมอร์คิวริกคลอร์ไรด์บนถ่าน (charcoal) เป็นตัวเร่ง



5) การเตรียมโพลิเมอร์โดยใช้ซีเกลอร์-แนตตา คงคาลิสต์ (Ziegler-Natta catalysts) เช่นการเตรียมโพลีสไตรีน (polystyrene) โดยใช้อุณหภูมิเนี่ยมไตรเอธิล [Al(C₂H₅)₃] กับวนานาเดียมไตรคลอไรด์ (VCl₃) เป็นตัวเร่ง จะได้โพลีสไตรีนที่มีคุณสมบัติพิเศษ คือมีการเรียงตัวเป็นระเบียบและ

ความหนาแน่นสูง



ก) กลไกของปฏิกิริยาของกําช-ของแข็ง (Mechanism of gas-solid reactions)

ในอุตสาหกรรมส่วนใหญ่ ปฏิกิริยาจะตัดลิซิสมักจะเกิดระหว่างกําชกับของแข็ง ขบวนการจะตัดลิซิสจึงเกิดที่ผิวหน้าระหว่างกําชกับของแข็ง (gas-solid interface) กลไกของปฏิกิริยาพวกรู้ว่า อาศัยทฤษฎีของแลงเมียร์ (Langmuir) ที่กล่าวว่า

- 1) การเคลื่อนที่ของโมเลกุลกําชจะเข้าหาผิวหน้า (surface) โดยการแพร่ (diffusion)
- 2) จะเกิดการดูดซับ (adsorption) ในโมเลกุลสารตั้งต้นบนพื้นผิว โดยเกิดการดูดซับแบบเคมี (chemisorption) คือมีพันธะที่แข็งแรง โอกาสจะหลุดออกก็ยาก
- 3) ปฏิกิริยาปฐม จะเกิดระหว่างโมเลกุลที่ถูกดูดซับ (adsorbed) กับโมเลกุลในสถานะกําช
- 4) จะเกิดการรายออก (desorption) ของโมเลกุลของผลิตผลหลุดออกจากผิวหน้า
- 5) การเคลื่อนที่ของโมเลกุลกําชจากผิวหน้าจะเกิดโดยการแพร่ (diffusion)

ข) การดูดซับไอโซเชอร์มแบบแลงเมียร์ (Langmuir adsorption isotherm)

การที่จะศึกษาการดูดซับแบบเคมี (chemisorption) จะต้องพิจารณาจำนวนโมเลกุลที่ถูกดูดซับ (adsorbed) ที่สภาวะสมดุล เนื่องจากมีตัวแปรมาก เพระณ์นั้นถ้าให้อุณหภูมิคงที่ จำนวนการดูดซับจะเป็นพังก์ชันกับความดัน เราเรียกการศึกษานี้ว่าการดูดซับไอโซเชอร์ม (adsorption isotherm) โดยจะศึกษาของแลงเมียร์ (Langmuir) ซึ่งเป็นการเกิดการดูดซับที่ง่ายที่สุด โดยมีสมมติฐานว่า

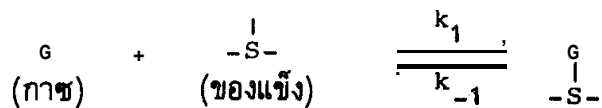
- 1) การดูดซับโมเลกุลของกําชจะเกิดไปเรื่อยๆ บนผิวหน้า (surface) จนกระทั่งเต็ม แต่จะมีเพียงชั้นเดียว (single layer or monolayer)
- 2) การดูดซับจะเกิดอยู่กับที่ (localise)
- 3) ไม่คิดแรงกระทำระหว่างโมเลกุลที่ถูกดูดซับ เพระณ์นั้นความร้อนของการดูด

ขับ (heat of adsorption) ในรูปของเศษส่วน (fraction) ของผิวหน้าที่ไม่ว่าง (surface covered)

อัตราการดูดซึบจะขึ้นกับ

- 1) อัตราการชนของโมเลกุลกับผิวหน้าซึ่งเป็นสัดส่วนกับความดัน (p)
- 2) ถ้าให้ θ เป็นเศษส่วน (fraction) ของผิวหน้าที่ไม่ว่าง (surface covered) เพราะฉะนั้น โอกาสของโมเลกุลของกากซึ่งจะเข้าไปในด้านที่ว่าง (vacant site) จะเท่ากับ $(1-\theta)$
- 3) ถ้า E_a' เป็นพลังงานกระตุ้นของการดูดซึบ อัตราการดูดซึบจะเป็นสัดส่วนกับ $-E_a'/RT$

พิจารณาการดูดซึบและการรายออก ข้างล่างนี้



ที่สภาวะสมดุล อัตราการดูดซึบ = อัตราการรายออก (desorption)

$$k_1 p (1-\theta) = k_{-1} \theta \quad \dots (3.57)$$

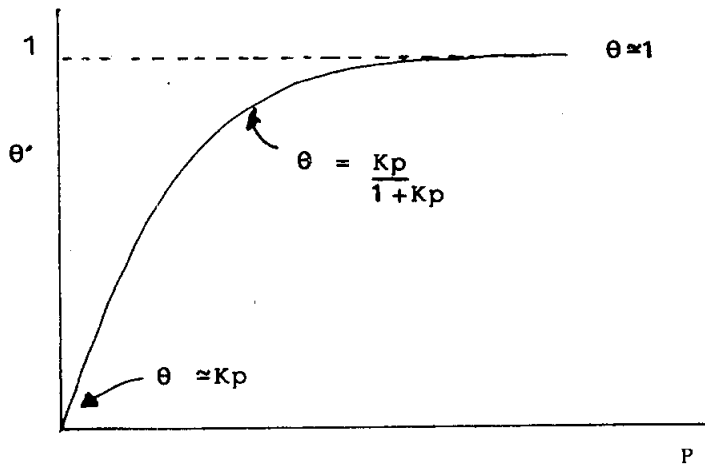
$$\frac{\theta}{1-\theta} = \frac{k_1 p}{k_{-1}} \quad \dots (3.57)$$

$$\frac{\theta}{1-\theta} = Kp \quad \dots (3.58)$$

โดยที่ $K = \frac{k_1}{k_{-1}}$ จากสมการ (3.58) จะได้

$$\begin{aligned} \theta &= Kp - Kp\theta \\ \theta(1+Kp) &= Kp \\ \theta &= \frac{Kp}{1+Kp} \quad \dots (3.59) \end{aligned}$$

สมการที่ (3.59) เป็นสมการการดูดซึบโดยเรอร์นแบบแลงเมียร์ ถ้าเขียนกราฟระหว่าง θ กับ p จะได้กราฟตามรูป 3.10



รูปที่ 3.10 ความสัมพันธ์ระหว่างเศษส่วน (fraction) ของผิวน้ำที่ไม่ว่าง (surface covered) กับความดัน

จะเห็นได้ว่ากรณีความดันต่ำ ๆ θ จะมีค่าประมาณเท่ากับ K_p แต่พอความดันสูง ๆ θ จะมีค่าประมาณเท่ากับ 1 หมายถึงผิวน้ำ (surface) จะเต็มเกือบทุกอัตราการเกิดปฏิกิริยาจะเป็นสัดส่วนกับ θ เพราะฉะนั้นถ้าเป็นปฏิกิริยาหนึ่งโมเลกุล

$$v = -\frac{dp}{dt} = k\theta \quad \dots (3.60)$$

กรณีความดันต่ำ ๆ $\theta \sim K_p$ เพราะฉะนั้นสมการอัตราจะเป็น

$$\begin{aligned} v &= kK_p \\ &= k' p \end{aligned} \quad \dots (3.61)$$

$$\begin{aligned} \text{กรณีความดันปกติ} \quad \theta &= \frac{K_p}{1+K_p} \\ v &= k \left(\frac{K_p}{1+K_p} \right) \end{aligned} \quad \dots (3.62)$$

และกรณีความดันสูง ๆ $\theta \sim 1$

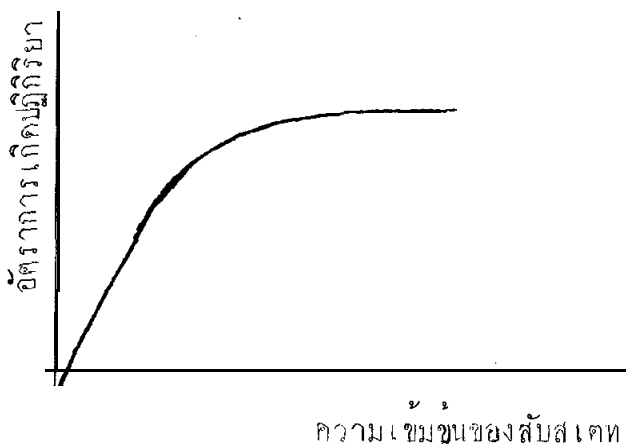
$$v = k \quad \dots (3.63)$$

กรณีสุดท้ายสมการที่ (3.63) จะเป็นปฏิกิริยาอันดับศูนย์ ตัวอย่างเช่นปฏิกิริยาการสลายตัวของแอมโมเนียบนโลหะหงส์เตน ที่ความดันประมาณ 20 ทอร์ร (torr) จะเป็นปฏิกิริยาอันดับศูนย์

นอกจากปฏิกิริยาจะตัดลิซิสที่กล่าวมาแล้ว ยังมีอีกประเภทหนึ่งที่สำคัญและควรกล่าวถึง เป็นกรณีเฉพาะ คือปฏิกิริยาจะตัดลิซิสด้วยเอนไซม์ (enzyme catalysis)

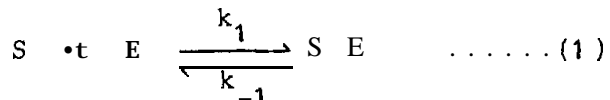
3.5.3) จะตัดลิซิสด้วยเอนไซม์

เอนไซม์เป็นตัวเร่งทางชีววิทยาที่มีความสำคัญมาก เอนไซม์แต่ละตัวจะมีหน้าที่เฉพาะ อย่างในระบบอวัยวะของสัมผัสริบิต เช่น เปปซิน (pepsin) ซึ่งผลิตจากกระเพาะอาหารจะเป็นตัวเร่งในปฏิกิริยาไฮโคลลิซิสของโปรตีน บูเรยส์ (Urease) เป็นตัวเร่งในปฏิกิริยาการเปลี่ยนบูเรยส์ (urea) ไปเป็นแอมโมเนียมและคาร์บอนไดออกไซด์ เอนไซม์เป็นสารประกอบประเภทโปรตีน มีหนักไม่เล็กสูงมากอยู่ในช่วงประมาณ 6,000 ถึงหลายหมื่น และมีประมาณ 150 ชนิดที่สามารถแยกมาอยู่ในรูปหลักได้ ปฏิกิริยาเอนไซม์จะตัดลิซิส เป็นปฏิกิริยาที่เกิดเร็วมาก (fast reactions) การศึกษาจึงต้องใช้เทคนิคเฉพาะอย่าง เช่น ส坨อบโพลัว โพโนมิเตอร์ เป็นต้น และมีพัฒนาระบบการเร่งปฏิกิริยาคล้ายกับตัวเร่งแบบวิชพันธ์ จึงมักมีผู้เรียกเอนไซม์ว่า 'microheterogeneous catalysts' การศึกษาทางจนศาสตร์ค่อนข้างยุ่งยากเนื่องจากมีกลไกที่ซับซ้อนและมีแหล่งที่ว่องไวต่อปฏิกิริยา (active sites) มาก จึงมักทำปฏิกิริยากับสารตั้งต้นซึ่งนิยมเรียกว่า สับสเตท (substrate) ได้หลายทาง ปฏิกิริยาพวgnี้มักเป็นปฏิกิริยาอันดับหนึ่งเมื่อเทียบกับสับสเตท (S) กรณีที่ความเข้มข้นของสับสเตทต่ำ แต่ถ้าความเข้มข้นของสับสเตทสูงขึ้น กวอตราชจะเปลี่ยนไปเป็นอันดับศูนย์ ดังแสดงในรูป (3.11)



รูปที่ 3.11 แสดงความสัมพันธ์ระหว่างอัตราการเกิดปฏิกิริยากับความเข้มข้นของสับสเตท (substrate) เมื่อมีเอนไซม์เป็นตัวเร่ง

การศึกษาทางเคมีศาสตร์ของปฏิกิริยาที่ถูกเร่งด้วยเอนไซม์ ที่รู้จักกันดี คือกลไกของไมเคิลลิส-เมนแทน (Michaelis-Menten Mechanism) ซึ่งเริ่มที่สับสเดท S ถูกเร่งด้วยเอนไซม์ E ได้คอมเพลกซ์เป็น SE (substrate-enzyme complex) ซึ่งสามารถถ่ายด้วยกลับคืนเป็นเอนไซม์และสับสเดทอีก หรืออาจถอยหลังตัวต่อไปเป็นผลิตผลกับเอนไซม์กลับคืนตามปฏิกิริยาข้างล่างนี้



k_1 เป็นค่าคงที่อัตราของปฏิกิริยาการเกิดคอมเพลกซ์ k_{-1} เป็นค่าคงที่อัตราของปฏิกิริยาถอยกลับ และ k_2 เป็นค่าคงที่อัตราของปฏิกิริยาถอยหลังตัวต่อไปเป็นผลิตผล

โดยวิธี Steady-state approximation จะได้

$$\frac{d[SE]}{dt} = k_1 [S][E] - k_{-1} [SE] - k_2 [SE] = 0 \quad \dots \dots \quad (3.64)$$

เมื่อ $[E]$ เป็นความเข้มข้นของเอนไซม์ (S) เป็นความเข้มข้นของสับสเดท และ (SE) เป็นความเข้มข้นของคอมเพลกซ์

ถ้าให้ (E) เป็นความเข้มข้นริมต้นของเอนไซม์ ความเข้มข้น (E) ของเอนไซม์ที่เวลาใด ๆ ที่ยังไม่ได้ไปเป็นคอมเพลกซ์จะเท่ากับ $[E]_0 - [SE]$ ส่วนความเข้มข้นของ $[S]$ มีค่ามากกว่า $[E]$ มาก เพราะฉะนั้นความเข้มข้น $[S]$ ถือว่าเปลี่ยนแปลงน้อยมาก แทนค่า $[E]$ เท่ากับ $[E]_0 - [SE]$ ลงในสมการ (3.64) จะได้

$$[SE] = \frac{k_1 [S][E]_0}{k_1 [S] + k_{-1} + k_2} \quad \dots \dots \quad (3.65)$$

อัตราการเกิดปฏิกิริยาคิดจากขั้นกำหนดอัตรา (rate determining step) คือ ขั้นที่ 2 เพราะฉะนั้น

$$v = \frac{d[\text{Product}]}{dt} = k_2 [SE] \quad \dots \dots \quad (3.66)$$

แทนค่า $[SE]$ จากสมการ (3.65) ลงใน (3.66) จะได้

$$v = \frac{k_2 [S][E]_0}{[S] + (k_{-1} + k_2)/k_1} \quad \dots \dots \quad (3.67)$$

ค่า $(k_{-1} + k_2) / k_1$ เรียกว่าค่าคงที่ไม่เคลลิส (Michaelis constant, Km) และสมการ (3.67) เรียกว่า สมการไม่เคลลิส (Michaelis equation)
สมการ (3.67) อาจเขียนง่าย ๆ เป็น

$$v = \frac{k_2 [S] [E]_0}{[S] + K_m} \quad \dots \dots (3.68)$$

อาจใช้ค่าคงที่สมดุลมาคิดก็ได้โดยพิจารณาขั้นตอนแรกสมการ (1)

$$K = \frac{([E]_0 - [SE]) [S]}{[SE]} \quad \dots \dots$$

จัดเรียงใหม่จะได้ $[SE] = \frac{[S][E]_0}{[S] + K} \quad \dots \dots (3.69)$

แทนค่า [SE] ในสมการ (3.66)

$$v = k_2 \frac{[S][E]_0}{[S] + K} \quad \dots \dots (3.70)$$

สมการ (3.70) เมื่อเทียบกับสมการ (3.68) เมื่อค่าคงที่สมดุล K คือค่าคงที่ไม่เคลลิส K_m

อัตราการเกิดปฏิกิริยาเมื่อค่าสูงสุด (The maximum reaction rate, v_{max} หรือ limiting reaction rate) เมื่อเอ็นไซม์ไปเป็นคอมเพลกซ์ (SE) หมวด ความเข้มข้น [SE] จะเท่ากับ $[E]_0$ อัตราการเกิดปฏิกิริยาจะได้เป็น

$$v_{max} = k_2 [E]_0 \quad \dots \dots (3.71)$$

แทนค่าสมการ (3.71) ลงใน (3.68) จะได้

$$v = \frac{v_{max} [S]}{[S] + K_m} \quad \dots \dots (3.72)$$

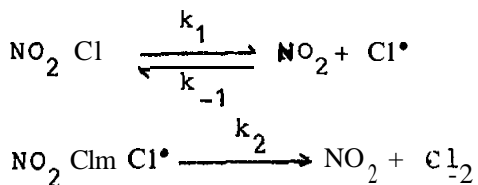
สมการ (3.72) สามารถเปลี่ยนให้อยู่ในรูปสมการเส้นตรงได้คือ

$$\frac{1}{v} = \frac{K_m}{v_{max}[S]} + \frac{1}{v_{max}} \dots \dots (3.73)$$

เขียนกราฟระหว่าง $\frac{1}{v}$ กับ $\frac{1}{[S]}$ จะได้กราฟเส้นตรงมีความชันเท่ากับ K_m/v_{max} และจุดตัดแกนตั้ง (intercept) เท่ากับ $\frac{1}{v_{max}}$ สามารถหาค่า v_{max} และค่า K_m ได้

แบบฝึกหัดบทที่ 3

1. ปฏิกิริยา ไซโคลโพรเพน \longrightarrow โพรพลิน ถือว่าเกิดกลไกตามทฤษฎีของลินดอยمانน์ ถ้าค่าคงที่อัตราเม็ดพารามิเตอร์ $\log A = 15.17 \text{ sec}^{-1}$ และ $E^* = 65 \text{ kcal.mol}^{-1}$ ที่อุณหภูมิ 765 K กำหนดค่า $k = 10^{-4} \text{ sec}^{-1}$ ที่ความดัน 1 Torr. จงคำนวณค่า k_∞ ที่ 765 K และอัตราส่วน k_2/k_{-1}
2. จากปฏิกิริยาข้างล่างนี้



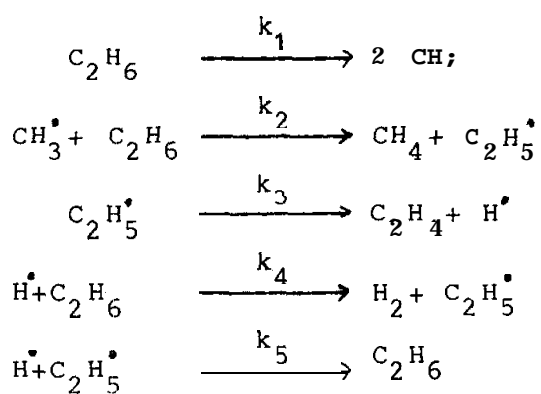
จงแสดงการหาค่าคงที่อัตราของปฏิกิริยานี้

3. ค่าคงที่อัตราของปฏิกิริยาระหว่างเบอร์ชัลเฟตกับไอโอดีอิโอน ที่เปลี่ยนแปลงไปกับความแรงอิโอน ได้ผลตามตาราง

$I (\text{mol.litre}^{-1})$	0.00245	0.00365	0.00445	0.00645	0.00845	0.01245
$k (\text{litre.mole}^{-1}.\text{sec}^{-1})$	1.05	1.12	1.16	1.18	1.26	1.39

จงหาค่า $Z_A Z_B$ โดยประมาณ ถ้าขั้นกำหนดอัตราคือปฏิกิริยาระหว่างเบอร์ชัลเฟตอิโอนกับไอโอดีอิโอน จงหาประจุของเบอร์ชัลเฟตอิโอน

4. จงคำนวณค่าคงที่อัตรา k_1 ที่ 273 K สำหรับปฏิกิริยานี้โมเลกุล (unimolecular) ในขั้นตอนการชนที่เกิดการกระตุ้น โดยกำหนดพลังงานกระตุ้น 167 kJ.mol^{-1} , $S = 12$ และการชน $= 10^{12}$
5. จงหาอัตราส่วนระหว่างค่าคงที่อัตราที่คำนวณโดยทฤษฎีการชนกับที่คำนวณโดยใช้ทฤษฎีของอินซินวูดของปฏิกิริยานี้โมเลกุล ซึ่งมีค่าพลังงานกระตุ้น 80 kJ.mol^{-1} , $S = 8$ และการชน $= 10^{12}$ ที่ 273 K
6. ปฏิกิริยาการสลายตัวของ C_2H_6 มีกลไกดังนี้



จงแสดงว่าปฏิกิริยาดังนี้ เป็นปฏิกิริยาอันดับหนึ่ง

7. ปฏิกิริยาอันดับสองระหว่างไบโรมีอะซีเตตอ่อนกับไฮโดroxัลเฟตอ่อน ซึ่งเป็นกลือของโปดัส เรียม



สารตั้งต้นใช้ความเข้มข้นเท่ากันทั้ง 2 ตัว ค่าคงที่อัตราที่ความเข้มข้นเปลี่ยนไปเป็นดังนี้

$k (dm^3 \cdot mol^{-1} \cdot min^{-1})$	0.298	0.309	0.324	0.343	0.336
ความเข้มข้นเริ่มต้น ($mol \cdot dm^{-3}$) $\times 10^3$	0.5	0.7	1.0	1.4	2.0

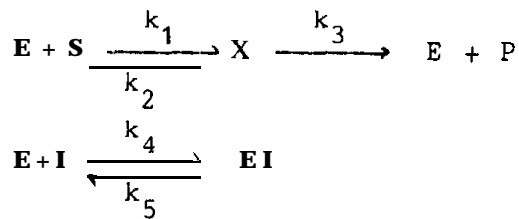
จงคำนวนหาค่าคงที่อัตรา เมื่อสัมประสิทธิ์เอกติวิตี้ = 1 สมมติว่าค่าคงที่เดบาย-ชักเกน = $0.51 dm^{\frac{3}{2}} \cdot mol^{-\frac{1}{2}}$

8. ในปฏิกิริยาไฮโตรคลิซของเมธิลไฮดรเซินนามะต (methyl hydrocinnamate) ซึ่งมีเยนไซม์ไฮโนไทรพิน (chymotrypsin) ที่ $25^\circ C$ $pH = 7.6$ อัตราการเกิดปฏิกิริยาเริ่มต้น วัดที่ความเข้มข้นของเมธิลไฮดรเซินนามะตต่าง ๆ กัน ได้ผลดังนี้

$c \times 10^3 (mol \cdot dm^{-3})$	30.8	14.6	8.57	4.60	2.24
อัตราเริ่มต้น $\times 10^8 (mol \cdot dm^{-3} \cdot s^{-1})$	20	17.5	15.0	11.5	7.5

จงคำนวนหา v_{max} และค่าคงที่ไมเคิลลิส (Michaelis constant, K)

9. จงหาสมการอัตราของปฏิกิริยาที่มีกลไกตามข้างล่างนี้ โดยใช้ steady-state



กรณีที่ $[S] \gg [E]_0$ และ $[I] \gg [E]_0$

10. จากผลการทดลองการถ่ายตัวของ NH_3 บนสวัสดิ์ทั่วไป ที่ $85^\circ C$ วัดความดันที่เวลาต่างๆ ได้ผลดังนี้

ความดันทั้งหมด (torr)	228	250	273	318
เวลา (s)	200	400	600	1000

จงคำนวณหาค่าคงที่อัตรา และอันดับของปฏิกิริยา